

**"PENENTUAN STABILITAS
MAGNETISASI REMANEN ALAMI (NRM)
BATUAN BEKU GUNUNG MERAPI,
JAWA TENGAH"**

OLEH:

**HUSNA
H 211 97 022**

PERPUSTAKAAN PTI 45 UNIV. HASANUDDIN	
Tgl. Terima	26 - 5 - 2002
Aset	Fak. MIPA.
Ban	1 (Satu).
Harga	Rp. 10.000,-
No. Inventar.	02 05 26 076.
To. Kedua	



**PROGRAM STUDI FISIKA JURUSAN FISIKA
FAKULTAS MATEMATIKA DAN ILMU PENGETAHUAN ALAM
UNIVERSITAS HASANUDDIN**

2002

**PENENTUAN STABILITAS
MAGNETISASI REMANEN ALAMI (NRM)
BATUAN BEKU GUNUNG MERAPI, JAWA TENGAH**

OLEH:

**NAMA : H U S N A
STAMBUK : H 211 97 022**

Skrripsi

**Untuk melengkapi tugas dan memenuhi syarat memperoleh
gelar Sarjana Fisika**



**PROGRAM STUDI FISIKA JURUSAN FISIKA
FAKULTAS MATEMATIKA DAN ILMU PENGETAHUAN ALAM
UNIVERSITAS HASANUDDIN**

2002

**Judul Skripsi : "Penentuan Stabilitas Magnetisasi Remanen Alami
(NRM) Batuan Beku Gunung Merapi, Jawa
Tengah".**

Nama : Husna

Stambuk : H 211 97 022

Disetujui Oleh:

Pembimbing Utama,


DR. Nurlaela Rauf
Nip. 131 570 877

Pada Tanggal : Maret 2002

SARI BACAAN

Penelitian tentang kemagnetan batuan telah dilakukan pada daerah sekitar Gunung Merapi. Penelitian ini untuk mengukur intensitas, arah, dan kestabilan *Natural Remanent Magnetization* (NRM) batuan. Sampel yang digunakan berasal dari pos pemantau gunung Merapi, yakni Pasar Bubar, Kali Gendong dan Kali Gendol. Metode yang digunakan dalam menentukan kestabilan adalah metode *Alternating Field Demagnetization*. Hasil Pengukuran menunjukkan bahwa Pasar Bubar (PB) mempunyai intensitas 1,488– 2,952 A/m, Kali Gendol (KGU) mempunyai intensitas 2,187- 2,712 A/m dan Kali Gendong (KGD) mempunyai intensitas 1,824 –13,539 A/m, sehingga merupakan intensitas NRM tertinggi . Arah deklinasi masing-masing daerah cukup konsisten. PB mempunyai deklinasi berkisar 328° - 7° , KGU berkisar 351° - 10° , sedangkan KGD berkisar antara 4° - 29° . Arah inklinasi PB berkisar -39° - 31° , KGU berkisar -1° - 2° dan KGD berkisar -34° - -27° . Kestabilan NRM ditentukan melalui kurva peluruhan intensitas, Plot Stereonet, diagram Zijderveld dan *Maximum Angular Deviation* (MAD). Berdasarkan hasil dari parameter kestabilan tersebut dapat disimpulkan bahwa intensitas NRM sampel KGD dan PB tidak stabil, tetapi arah NRMnya cukup stabil, sedangkan sampel KGU mempunyai kestabilan (intensitas dan arah) NRM yang cukup baik.

Kata kunci: NRM, Demagnetisasi, Kestabilan

ABSTRACT

A rock magnetism research in Merapi region have been done. This research was measurement of intensity, direction, and of Natural Remanent Magnetization (NRM). The sample was taken from Merapi volcano's station, e.q: Pasar Bubar, Kali Gendol, and Kali Gendong. The Alternating Field Demagnetization method was used to determine the stability of NRM. The result show, Pasar Bubar, Kali Gendol and Kali Gendong have intensity of 1.488–2.952 A/m, 2.187-2.712 A/m and 1.824–13.539 A/m respectively. Kali Gendong has the hightest NRM Stability. The direction of NRM for each region is sufficiently stable. The declination of Pasar Bubar in the range 328° - 7° and Kali Gendol in the range of 351° - 10° , Kali Gendong in the range of 14° - 29° . The inclination of Pasar Bubar in the range of -39° – 31° , Kali Gendol in the range of -1° - 2° and Kali Gendong in the range of -34° - -27° . Test Stability of NRM through intensity decay curve, Zijderveld diagram, Stereonet plot and Maximum Angular Deviation (MAD). It is indicated that NRM intensity of Pasar Bubar and Kali Gendong was unstable, but NRM direction sufficiently stable, although Kali Gendol has a good NRM stability, both intensity and direction.

Key Words: NRM, Demagnetization, Stability.

KATA PENGANTAR

Assalamu Alaikum Wr. Wb.

« Sesungguhnya jika kamu bersyukur, pasti kami akan menambah nikmat kepadamu dan jika kamu mengingkari nikmatku, maka sesungguhnya adzab-Ku sangat pedih » (Q.S. Ibrahim :7)

Maha suci Allah dan segala puji hanya Untuk-Nya. Hamba telah peroleh setitik ilmu dari sebegitu luas samudra ilmu-Mu dan telah kudapat hikmah dan pembelajaran berharga, berkat kemurahan dan kasih sayang-Mu, Yaa Allah.

Pada Kesempatan ini, penulis mengucapkan banyak terima kasih yang setulus-tulusnya kepada pihak-pihak yang telah berjasa pada penyelesaian Skripsi penulis yang berjudul **“PENENTUAN STABILITAS MAGNETISASI REMANEN ALAMI (NRM) BATUAN BEKU GUNUNG MERAPI, JAWA TENGAH:**

1. DR. Nurlaela Rauf, selaku pembimbing Utama yang telah banyak meluangkan waktunya untuk membimbing penulis.
2. Satria Bijaksana, Ph.D, selaku pembimbing pertama yang memberikan ilmunya serta nasehatnya sewaktu penulis di Bandung, yang Insya Allah sangat bermanfaat.

3. Rachman Kurniawan, M.Si, selaku pembimbing kedua yang juga telah banyak memberikan arahan tentang penulisan skripsi yang baik.
4. Drs. Bansawang, M.Si, Drs. Arifin, MT, Ir. Bambang Harimei, M.Si, selaku penguji Skripsi Fisika yang telah memberikan kritik dan sarannya yang Insya Allah sangat bermanfaat.
5. Drs. M. Altin Massinai, M.Tsurv dan Drs. Sakka, Msi selaku ketua dan sekretaris jurusan Fisika FMIPA UH.
6. Bapak dan Ibu Dosen lainnya yang telah memberikan ilmu dan perhatiannya selama masa perkuliahan.
7. Kanda Rusli, M.Si (terima kasih atas segala kebaikan dan kebijaksanaannya), Mba' Siti Zulaikah, M.Si (terima Kasih atas diskusi, tempat tinggalnya and persahabatannya), Kanda Ngkoimani, M.Si (terima kasih atas keramahan, diskusi, dan traktirannya), Kanda Elisa Sesa, M.Si (terima kasih atas bantuanya menemani kami sewaktu melakukan pengukuran dan tak lupa juga atas traktirannya) selama kami di Bandung.
8. Teman angkatan 97 Fisika: Uni (janter) S.Si, Rahma S.Si, Arni S.Si, Mey S.Si, Srry S.Si, Rintos S.Si, Tati S.Si, Linda S.Si, Hamka S.Si, Ansar S.Si, Ilia' S.Si, Illo S.Si, Amay S.Si, Syahrul S.Si, Fiqq, Maryam, Lina, Lisna, Biah, Ida, Zatri, Elsy, Uun & Abang, Ayu, Bowo, Dayat, Syamsul, Iwan, Amass, Iben, Achoo, Piyat, Chibon, andar, Kandar & NY, Vanran, Dzul, Dimon, Ali, Gede, Budi, dan Hasan, yang telah mengukir kenangan manis (canda & Calla) yang tak terlupakan.



9. K' Nisma dan keluarga di Bandung yang telah banyak memberikan bantuan dan dorongan semangat selama kami di Bandung.
10. Special for someone, terima kasih atas segala bantuan, perhatian dan kasih sayangnya selama tiga tahun terakhir.
11. Adik angkatan: Lia, Uji, Risma, Tola, Mia, Fatur, Er'n, Eca, Kiki, Amin, andis, Anti, Pitti, Amma, Nurhasanah, Fahrul, Ino', Iyem, Adi, dan lainnya yang tak dapat disebutkan satu persatu.

Yang terkhusus Ayahanda, H. Abd. Rahman dan ibunda, HJ. Ratu Yuliana yang telah memberikan banyak kasih dan sayangnya, do'a, serta materi yang sangat cukup sehingga penulis dapat menjadi seperti sekarang ini, seorang Saintis Fisika yang Insya Allah berguna bagi Agama, Bangsa dan Negara.

Akhir Kata, semoga Allah melimpahkan Rahmat dan karunia-Nya dengan memberikan keberhasilan dan kebahagian Dunia dan Akhirat, atas segala kemurahan hati dan kebaikan yang diberikan.

Semoga Skripsi ini bermanfaat bagi para pencinta ilmu, dan segala kritik sarannya yang membangun, sangat diharapkan untuk kesempurnaan Skripsi ini dan untuk penelitian yang akan datang.

Wassalamu Alaikum Wr. Wb.

Makassar, Maret 2002

Penulis

DAFTAR ISI

HALAMAN JUDUL	i
LEMBAR PENGESAHAN	ii
SARI BACAAN	iii
ABSTRACT	iv
KATA PENGANTAR	v
DAFTAR ISI	viii
DAFTAR GAMBAR	x
DAFTAR LAMPIRAN	xi
BAB I PENDAHULUAN	
I.1 Latar Belakang	1
I.2 Ruang Lingkup	2
I.3 Tujuan	2
BAB II TINJAUAN PUSTAKA	
II.1 Magnetisasi Batuan	3
II.2 Mineral Pembawa Magnetik Batuan	4
II.3 Mekanisme Pemerolehan NRM.....	6
II.4 Medan Magnetik Bumi	8
II.5 Kestabilan Magnetisasi Remanen	
II.5.1 Teknik Demagnetisasi	10
II.5.2 PCA dan MAD	13
BAB III METODE PENELITIAN	
III.1 Lokasi Penelitian	16
III.2 Bahan dan Alat yang digunakan	
III.2.1 Bahan	16
III.2.2 Alat	17

III.3 Prosedur Kerja	
III.3.1 Pengukuran NRM	18
III.3.2 Teknik Demagnetisasi	19
III.4 Pengolahan Data	
III.4.1 Kurva Peluruhan Intensitas	20
III.4.2 Plot Zijderveld	20
III.4.3 Plot Stereonet	21
III.4.4 Analisis Komponen Utama	21
III.5 Bagan Alir Penelitian	22
BAB IV HASIL DAN PEMBAHASAN	
IV.1 Hasil	
IV.1.1 Hasil Pengukuran Magnetisasi Remanen Alami	23
IV.1.2 Hasil Pengukuran Magnetisasi Remanen Setelah AFD.....	24
IV.2 Pembahasan	
IV.2.1 Intensitas dan Arah Magnetisasi Remanen Alami Mula-mula	25
IV.2.2 Kestabilan Magnetisasi Remanen Alami Sampel	25
BAB V SIMPULAN DAN SARAN	
V.1 Simpulan	28
V.2 Saran	29
DAFTAR PUSTAKA	30
LAMPIRAN	31

DAFTAR GAMBAR

	Halaman
Gambar 2.1 Kurva Histerisis Ferromagnetik	6
Gambar 2.2 Komponen Vektor Medan Magnet Bumi	8
Gambar 2.3 Proses AF Demagnetization	12
Gambar 2.4 Kurva Intensitas AF Demagnetization	13
Gambar 3.1 Perubahan posisi sampel saat pengukuran NRM	18
Gambar 3.2 Sketsa "Zijderveld"	21

DAFTAR LAMPIRAN

	Halaman
Lampiran I : Peta Lokasi Sampel Batuan	31
Lampiran II : Data Hasil Pengukuran NRM Mula-mula	33
Lampiran III : Data Hasil Pengukuran NRM setelah AFD	35
Lampiran IV : Parameter Kestabilan NRM	52
Lampiran V : Gambar alat yang digunakan	69

BAB I

PENDAHULUAN

I.1 Latar Belakang

Natural Remanent Magnetization (NRM) atau Magnetisasi Remanen Alami merupakan magnetisasi yang terdapat dalam batuan akibat respon mineral-mineral magnetik alam terhadap medan magnetik bumi saat batuan terbentuk. Magnetisasi tersebut terekam dalam batuan, sehingga disebut “Magnetisasi Remanen”. Berdasarkan proses terjadinya, NRM dikelompokkan sebagai berikut: *Thermoremanent Magnetization, Detrital Remanent Magnetization dan Chemical Remanent magnetization.*

Keberadaan NRM ini pada batuan dipakai sebagai dasar untuk studi Paleomagnetik^(IX3). Studi Paleomagnetik adalah studi yang mempelajari tentang perilaku medan magnetik bumi masa lampau. Kestabilan NRM baik arah maupun intensitasnya dalam studi ini merupakan syarat penting untuk diketahui.

Penelitian ini dimaksudkan untuk melihat stabil atau tidaknya rekaman magnetik (NRM) suatu sampel. Kestabilan NRM ini dapat dilihat dengan melakukan demagnetisasi pada sampel yang diteliti. Sampel diberi medan magnet bolak-balik dalam ruang dengan medan nol. Data-data yang dihasilkan berupa intensitas, arah deklinasi dan inklinasi. Suatu sampel dikatakan stabil jika peluruhan intensitasnya perlahan dan arah-arahnya konsisten pada setiap tahapan demagnetisasi.

Sampel yang digunakan dalam penelitian ini adalah batuan beku berupa batuan lava flow. Berdasarkan proses pembentukannya, pemerolehan remanen adalah dengan cara *Thermoremanent Magnetization* (TRM). TRM ini diperoleh pada saat proses pendinginan dari temperatur yang sangat tinggi, hingga mencapai suhu Curie.

I.2 Ruang Lingkup

Penelitian ini dibatasi pada sampel yang berasal dari daerah sekitar gunung Merapi, yaitu Pasar Bubar, Kali Gendong dan Kali Gendol, dan penentuan stabilitas Magnetisasi Remanen Alami batuan dilakukan melalui analisa secara kuantitatif dari parameter kestabilan yang digunakan.

I.3 Tujuan

Tujuan dilakukannya penelitian ini adalah:

1. Menentukan besar intensitas dan arah dari NRM yang terekam .
2. Menentukan tingkat kestabilan NRM melalui kurva peluruhan intensitas, diagram Zijderveld , plot Stereonet dan MAD.

BAB II

TINJAUAN PUSTAKA

II.1. Magnetisasi Batuan

Magnetisasi (M) merupakan reaksi dari momen-momen magnetik pada batuan akibat medan magnet luar yang mengenainya. Magnetisasi didefenisikan sebagai momen magnetik (m) total setiap satuan volume (V) batuan yang diformulasikan sebagai berikut:⁽¹⁾

$$\overline{\mathbf{M}} = \frac{\sum_{i=1}^N \overline{\mathbf{m}_i}}{V} \quad (2.1)$$

Magnetisasi yang terekam dalam batuan ditentukan oleh dua faktor, yakni medan magnet yang mempengaruhi batuan pada saat pengamatan magnetisasi (berkaitan dengan magnetisasi induksi) dan satu atau lebih proses yang yang menjadikan bahan tersebut termagnetisasi (berkaitan dengan Magnetisasi Remanen).

Komponen magnetisasi dalam batuan yang terdiri dari Magnetisasi Induksi (M_i) dan Magnetisasi Remanen (M_r), dirumuskan sebagai berikut:

$$\overline{\mathbf{M}}_T = \overline{\mathbf{M}}_i + \overline{\mathbf{M}}_r \quad (2.2)$$

Magnetisasi induksi adalah magnetisasi yang terukur pada batuan hanya apabila dikenai medan magnet luar ($H \neq 0$), sedangkan Magnetisasi Remanen adalah magnetisasi yang terukur pada batuan hanya apabila medan magnet luarnya tidak

ada ($H=0$). Kebergantungan magnetik induksi pada medan magnet luar didefinisikan dalam persamaan berikut:

$$\overrightarrow{M}_i = \kappa \overrightarrow{H} \quad (2.3)$$

dimana κ adalah suseptibilitas magnetik, sehingga magnetisasi totalnya, adalah:

$$\overrightarrow{M}_r = \overrightarrow{M}_i + \kappa \overrightarrow{H} \quad (2.4)$$

II.2 Mineral Pembawa Magnetik Remanen

Mineral magnetik dapat dibedakan berdasarkan sifat-sifatnya terhadap pengaruh medan magnet, yakni diamagnetik, paramagnetik dan ferromagnetik. Hubungannya dengan remanen magnetik, hanya ferromagnetik yang menghasilkan remanen magnetik. Hal ini disebabkan oleh ketidakbergantungan mineral ferromagnetik terhadap medan magnet luar yang mengenainya. Ferromagnetik adalah tipe magnetik yang bergantung suhu. Jika Ferromagnetik dipanaskan hingga mencapai temperatur yang disebut dengan temperatur Curie, akan berubah menjadi tipe paramagnetik. Mineral Ferromagnetik yang paling penting dalam membawa magnetik remanen adalah oksida-besi-titanium (FeTi), yaitu golongan Titanomagnetit dan golongan Titanohematit.

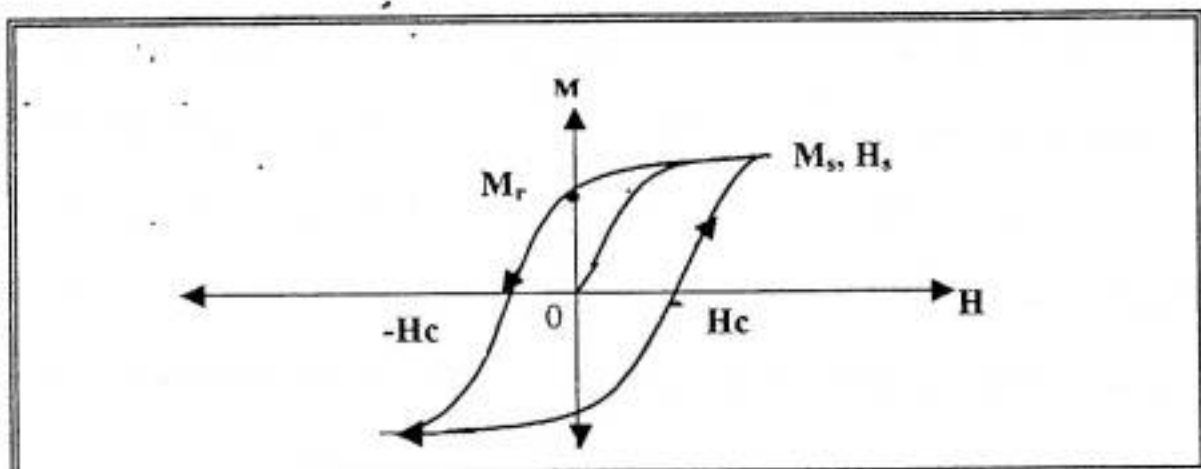
Titanomagnetit, $X(Fe_3O_4)(1-X)(Fe_2TiO_4)$ merupakan komposisi antara magnetit (Fe_3O_4) dan ulvospinel (Fe_2TiO_4). Magnetit mempunyai temperatur Curie 580°C

dan magnetisasi saturasi $90 - 93 \text{ Am}^2\text{kg}^{-1}$ ⁽¹⁾, dan di atas temperatur ini magnetit bersifat paramagnetik. Titanohematit merupakan komposisi dari hematit dan Ilmenite. Hematite mempunyai temperatur Curie 680°C .

Perbedaan sifat magnetik pada batuan bergantung pada ukuran bulir magnetik yang dipengaruhi oleh keadaan domain partikel tersebut. Keadaan domain berubah dari superparamagnetik (SP) menjadi single domain (SD) dan akhirnya menjadi multidomain (MD) dengan bertambahnya ukuran bulir. Bulir mineral magnetik bersifat SP jika volume bulir sangat kecil, sehingga tidak cukup energi untuk mempertahankan penjajaran momen magnetik bila medannya dihilangkan. Bulir SP tidak mempunyai magnetisasi remanen. Bulir SD mempunyai energi yang cukup untuk mempertahankan arah medan magnet, sehingga mempunyai magnetisasi remanen yang stabil. Volume bulir yang terus bertambah, bulir cenderung membuat MD dan sifatnya tidak stabil dalam mempertahankan arah magnetisasi remanen. Bulir magnetit yang bertipe SD mempunyai bulir yang sangat halus yakni diameternya $< 0,1 \mu\text{m}$ ⁽¹⁾ dan bertipe multidomain jika diameternya $> 10 \mu\text{m}$ ⁽¹⁾, sedangkan bulir hematit lebih banyak ditemukan di alam sebagai SD $d = 15 \mu\text{m}$ ⁽¹⁾.

II.3 Mekanisme perolehan NRM

Remanen Magnetik didefinisikan sebagai magnetisasi yang tersisa ketika medan magnet dihilangkan, setelah proses magnetisasi pada material magnetik. Kurva histerisis Ferromagnetik (gambar 2.1), memperlihatkan bahwa keadaan awal bahan diberikan medan magnet yang diperbesar hingga tercapai keadaan saturasi, dalam hal ini terjadi magnetisasi saturasi (M_s). Medan magnet jika dikurangi maka magnetisasinya juga akan berkurang tetapi tidak mengikuti kurva magnetisasi asal. Saat medan magnet luarnya nol, magnetisasinya tidak nol, melainkan bernilai M_r yang disebut dengan Magnetisasi Remanen. Nilai magnetisasi akan nol pada saat medan magnet luarnya bernilai $-H_c$, yang dinamakan medan koersif. Penambahan medan magnet ke arah negatif bila diteruskan, maka batuan akan termagnetisasi dengan polaritas negatif hingga keadaan saturasi tercapai. Saat $H = 0$ lagi, maka akan diperoleh nilai magnetisasi $-M_r$ dan nilai nol dicapai kembali pada medan magnet sebesar H_c . Penambahan medan magnet selanjutnya menghasilkan nilai saturasi dengan polaritas positif.



Gambar 2.1 Kurva histerisis Ferromagnetik

Magnetisasi Remanen Alami (NRM) terbagi atas dua yaitu magnetisasi remanen primer dan magnetisasi remanen sekunder. NRM primer diasumsikan diperoleh pada saat batuan pertama kali terbentuk, sedangkan NRM sekunder diperoleh setelah pembentukan batuan. Magnetisasi remanen primer dapat diperoleh dari beberapa cara, yaitu *Thermoremanent Magnetization* (TRM), *Chemical Remanent Magnetization* (CRM) dan *Detrital Remanent Magnetization* (DRM). Magnetisasi remanen sekunder diperoleh dengan cara *Viscous Remanent Magnetization* (VRM).

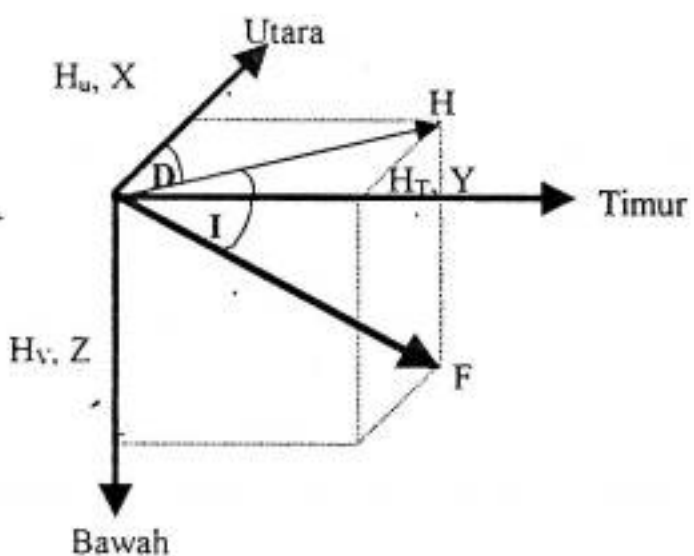
Thermoremanent Magnetization (TRM) adalah magnetisasi yang diperoleh ketika material magnetik mendingin melewati temperatur Curie, yang sebelumnya berada di atas temperatur Curie dalam medan magnet luar (medan magnet bumi). Selama pendinginan tersebut, energi pertukaran mendominasi sistem dan magnetisasi TRM yang dihasilkan sejajar dengan medan magnet bumi. Arahnya bergantung pada arah medan magnet pada waktu dan tempat batuan didinginkan.

Proses magnetisasi secara kimia atau *Chemical Remanent Magnetization* (CRM) lebih sering terjadi pada batuan sedimen. CRM terjadi jika bulir magnetiknya bertambah besar akibat aksi kimia dibawah temperatur Curie pada saat suatu kuat medan magnet tertentu. *Detrital Remanent Magnetization* (DRM) yaitu penajaran momen magnetik dalam domain bulir mineral magnetik sepanjang arah medan magnet luar yang mempengaruhinya pada saat sedimentasi, sedangkan *Viscous Remanent Magnetization* yang digolongkan sebagai magnetisasi sekunder,

diperoleh secara berangsur-angsur akibat adanya medan magnet lemah. VRM diperoleh secara alami dari medan magnet bumi, lama setelah pembentukan batuan.

II.4 Medan Magnetik Bumi ⁽¹⁾

Medan magnet bumi adalah besaran vektor, sehingga mempunyai arah dan intensitas. Arah medan magnet bumi dinyatakan dalam deklinasi (D) dan Inklinasi (I). Arah medan magnet tersebut diperlihatkan pada gambar (2.2). Medan magnetik di gambarkan dalam 3 komponen ortogonal dalam sistem koordinat kartesian, dimana sb-X menyatakan arah utara, sb-Y menyatakan arah timur dan sb-Z menyatakan arah positif ke bawah.



Gambar. 2.2 Komponen vektor medan magnet bumi (F)

Keterangan:

H : Proyeksi medan magnet F ke bidang yang menyinggung permukaan bumi

H_u : Proyeksi medan magnet H ke utara

H_T : Proyeksi medan magnet H ke arah timur

H_v : Proyeksi medan magnet F ke arah vertikal

D : Sudut deklinasi

I : Sudut inklinasi

Medan magnet permukaan bumi (F) terdiri dari 2 komponen yakni komponen Horizontal (H) dan komponen Vertikal (H_v). Besar Intensitas medan magnet tersebut dituliskan dalam satuan unit nanotesla (nT) dan dapat diketahui dalam bentuk persamaan matematika sebagai berikut:

$$F = \sqrt{H^2 + H_v^2} \quad (2.5)$$

Besar intensitas komponen horizontal adalah:

$$H = \sqrt{H_u^2 + H_T^2} \quad (2.6)$$

maka, intensitas total dari medan magnet permukaan bumi (H) dari persamaan (2.5) dan (2.6) adalah

$$F = \sqrt{H^2 + H_v^2} = \sqrt{X^2 + Y^2 + Z^2} \quad (2.7)$$

Sudut deklinasi adalah sudut yang dibentuk dari arah utara proyeksi medan magnet pada bidang horizontal (H) yang bergerak dari $0^\circ - 360^\circ$. Arah putaran sudut deklinasi searah dengan jarum jam . Besar deklinasi adalah;

$$D = \tan^{-1} \left(\frac{H_T}{H_v} \right) = \tan^{-1} \left(\frac{Y}{X} \right) \quad (2.8)$$

Sudut inklinasi adalah sudut yang dibentuk dari arah proyeksi bidang horizontal (H) ke komponen medan magnet yang mengarah ke bawah (H_v). Sudut inklinasi bernilai $\pm 90^\circ$. Kutub magnetik utara berada pada posisi $+ 90^\circ$, sedangkan kutub magnetik selatan berada pada posisi $- 90^\circ$. Besar inklinasi dapat dituliskan ;

$$I = \tan^{-1} \left(\frac{H_v}{H} \right) = \tan^{-1} \left(\frac{Z}{H} \right) \quad (2.9)$$

II.5 Kestabilan Magnetik Remanen

II.5.1 Teknik Demagnetisasi

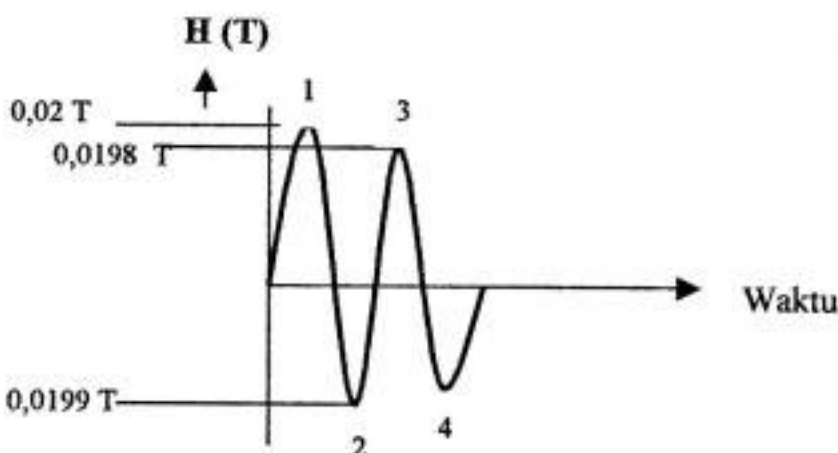
Kestabilan magnetik remanen diamati dengan melakukan demagnetisasi. Demagnetisasi dalam hal ini dapat dianggap sebagai magnetisasi yang melawan magnetisasi yang ada dalam batuan. Demagnetisasi atau *magnetic cleaning* adalah teknik memisahkan dua komponen magnetik remanen yaitu magnetisasi remanen primer dan magnetisasi remanen sekunder yang memiliki tingkat kestabilan yang berbeda, dan kemudian membuang komponen magnetisasi remanen yang stabilitasnya lebih rendah dari masing-masing sampel. Komponen yang stabilitasnya tinggi diasumsikan sebagai komponen magnetisasi remanen primer dan komponen yang stabilitasnya rendah diasumsikan sebagai komponen magnetisasi remanen sekunder. Dua metode yang dapat dilakukan dalam penelitian kestabilan magnetisasi remanen yaitu demagnetisasi termal (*Thermal Demagnetization*) dan demagnetisasi medan bolak-balik (*Alternating Field Demagnetization, AFD*).

Metode demagnetisasi termal, yakni memanaskan sampel batuan di bawah temperatur Curie dan didinginkan pada medan magnet nol dengan menggunakan suhu ruang, sedangkan pada *AFD*, sampel diberikan medan magnet bolak-balik dengan amplitudo yang makin mengecil hingga mencapai nol dalam ruang yang bebas medan magnet. *AFD* itu sendiri merupakan medan magnet yang dihasilkan akibat kumparan yang dialiri arus. Medan magnet yang timbul di pusat solenoida dengan jumlah lilitan N , panjang l , dan dialiri arus listrik i , adalah:⁽²⁾

$$H_o = \frac{N \cdot i}{l} \quad (2.10)$$

Perubahan besarnya *AFD* dilakukan dengan mengubah besarnya arus listrik, sedangkan polaritas medan magnetnya diubah dengan mengubah arah arus listrik. Perubahan besar dan arah arus analogi dengan perubahan medan magnet untuk demagnetisasi, sehingga keadaan akhir yang dikehendaki tercapai pada saat arus listrik sama dengan nol.

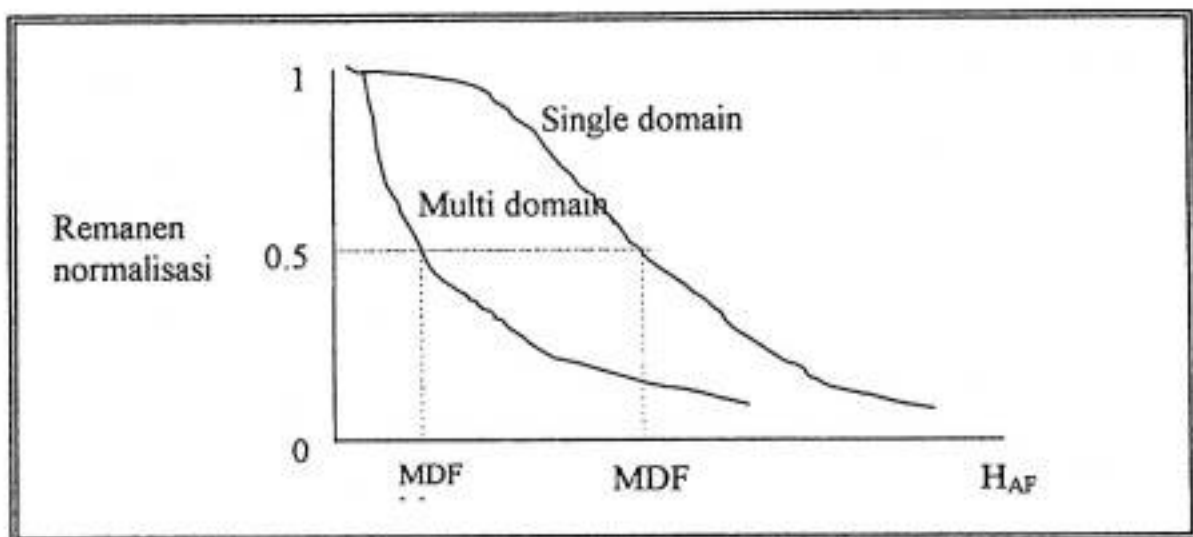
Prinsip dari *AFD* yaitu memberikan medan magnet bolak-balik untuk mengacaukan arah momen magnetik batuan, sehingga komponen magnetik yang koersivitasnya rendah dianggap tidak stabil, menghilang. Teori *AFD* dapat dijelaskan melalui gambar 2.3 berikut:



Gambar 2.3 Proses AF Demagnetization

Misalkan titik 1 mempunyai medan magnet $0,02\text{ T}$ maka momen magnetik semua bulir dengan gaya koersif (h_c) $\leq 0,02\text{ T}$ akan mengarah ke atas. Pada titik 2 dengan medan magnet $0,0199\text{ T}$ (medan magnet berkurang $0,0001\text{ T}$ setiap $1/2$ siklus), maka semua momen magnetik dengan $h_c \leq 0,0199\text{ T}$ akan mengarah ke bawah. Selanjutnya pada titik 3, semua momen magnetik dengan $h_c \leq 0,0198\text{ T}$ akan kembali mengarah ke atas. Demikian seterusnya momen magnetik total butir akan saling menghapuskan satu sama lain. Pemberian medan magnet bolak-balik maksimum H_{AF} , mengakibatkan semua bulir dengan $h_c \leq H_{AF}$ akan acak (random) dan data yang tersisa hanya bulir dengan $h_c \geq H_{AF}$.

Kurva peluruhan intensitas AFD dibuat dari intensitas remanen pada setiap peningkatan medan yang diberikan seperti pada gambar 2.4.



Gambar 2.4 Kurva intensitas *AF Demagnetization*⁽⁶⁾

Ket:

MDF : Median Destructive Field

H_{AF} : Medan dari AFD

II.5.2 Principal Component Analysis (PCA) dan Maximum Angular Deviation (MAD)⁽⁸⁾

Principal Component Analysis (PCA) atau analisa komponen utama adalah suatu analisa untuk menentukan data yang tepat dianalisis dari sederetan data yang ada. Analisa ini dilakukan agar diperoleh arah stabil remanen yang tepat. Data D, I, dan F yang diperoleh dari hasil pengukuran kemudian diubah dalam koordinat kartesian X, Y, Z. Koordinat pusat massa masing-masing komponen selanjutnya dihitung dengan:

$$\bar{X} = \frac{1}{N} \left(\sum_{i=1}^N x_i \right), \quad \bar{Y} = \frac{1}{N} \left(\sum_{i=1}^N y_i \right), \quad \bar{Z} = \frac{1}{N} \left(\sum_{i=1}^N z_i \right) \quad (2.11)$$

N adalah jumlah pengukuran pada setiap sampel. Setelah harga masing-masing pusat massa diperoleh, lalu dimasukkan ke persamaan (2.8) untuk menentukan arah delinasi, dan (2.9) untuk menentukan arah inklinasi yang tepat.

Ukuran kuantitatif tentang ketepatan pemilihan data yang dianalisis, digunakan parameter sudut deviasi maksimum (MAD). Harga MAD yang benar tidak mempunyai ketentuan yang pasti, tapi jika PCA mempunyai $MAD \geq 15^{\circ}$ dianggap bahwa signifikan data diragukan⁽⁹⁾. Semakin kecil harga MAD semakin konsisten data (arah kestabilan deklinasi dan inklinasi).

MAD dihitung dengan menggunakan tensor Orientasi (T) sebagai berikut:

$$T = \begin{pmatrix} \sum xx & \sum xy & \sum xz \\ \sum xy & \sum yy & \sum yz \\ \sum xz & \sum yz & \sum zz \end{pmatrix} \quad (2.12)$$

T adalah matriks simetrik 3×3 dengan 6 komponen bebas. Tiga arah utama (maksimum, intermediet dan minimum) yang dominan pada sampel, didapatkan dengan mencari nilai eigen (τ) melalui persamaan:

$$T V = \tau V \quad (2.13)$$

V adalah matriks yang memuat tiga vektor eigen dan τ adalah matriks diagonal yang memuat nilai eigen. Nilai eigen diperoleh dengan menghitung $\det |T - \tau| = 0$ Standar deviasi yang diperoleh dari tiga nilai eigen (τ_1, τ_2, τ_3), diketahui masing-masing melalui $\sigma_i = \sqrt{\tau_i}$ ⁽⁹⁾.

MAD dapat dicari melalui persamaan:

$$\text{MAD} = \tan^{-1} \left(\frac{\sqrt{\sigma_2^2 + \sigma_3^2}}{\sigma_1} \right) \quad (2.14)$$

BAB III

METODOLOGI

III.1 Lokasi dan Waktu Penelitian

Pengukuran intensitas dan arah magnetisasi remanen alami serta proses AFD dilakukan di laboratorium Fisika Bumi, ITB pada bulan Februari – Maret 2001.

III.2 Bahan dan Alat yang digunakan

III.2.1 Bahan

Sampel yang digunakan dalam penelitian ini berasal dari daerah pemantau gunung Merapi, yakni Pasar Bubar, Kali Gendong dan Kali Gendol. Sampel diperoleh di lapangan dalam bentuk core dengan diameter 2,54 cm dan panjang sekitar 10 cm, diambil menggunakan *Magnetic Measurements Portable Rock Drill* (MMPRD). Core kemudian dipotong di laboratorium, dengan panjang masing-masing 2,52 cm agar sesuai dengan *holder* pada alat yang digunakan. Potongan yang berasal dari satu core diberi inisial yang sama, sehingga penamaannya mengikuti urutan: Kode daerah, kode Core, dan nomor specimen. KGU-A1 berarti berasal dari Kali Gendol, Core A, urutan pertama dari atas. Seluruh proses pengambilan sampel di lapangan dilakukan oleh peneliti yang lain.⁽⁵⁾

III.2.2 Alat

Alat yang digunakan dalam penelitian ini, adalah;

■ Minispin Magnetometer;

Minispin Magnetometer digunakan untuk mengukur intensitas magnetisasi remanen batuan. Alat ini dikontrol oleh *microprocessor rockwell 6502*. Prinsip kerja instrumen ini adalah membangkitkan sinyal AC 780 Hz sebanding dengan komponen momen magnetik yang paralel dengan sumbu *fluxgate*. Komponen utama yang dimiliki oleh *Minispin Magnetometer* adalah batang pemutar yang bentuknya seperti silinder dan sensor medan magnet⁽⁶⁾.

■ Molspin AF Demagnetizer

Molspin AF Demagnetizer digunakan dalam proses demagnetisasi, dimana alat ini mempunyai medan magnet maksimum (H_1) sampai 0,1 T dan frekuensi 180 Hz.

■ Komputer:

Komputer dihubungkan langsung dengan *Minispin Magnetometer*, untuk menampilkan hasil pengukuran *Minispin Magnetometer*.

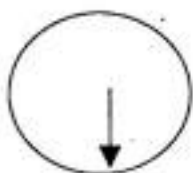
III.3 Prosedur Penelitian

III.3.1. Pengukuran Natural Remanen Magnetization

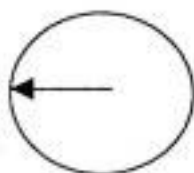
Pengukuran NRM dilakukan dengan mengukur intensitas dan arah magnetisasinya. Pengukuran ini dilakukan dengan menggunakan alat *Minispin Magnetometer*. Sampel diletakkan pada batang pemutar dan kemudian diputar. Saat sampel terputar, induksi magnetik menimbulkan arus listrik, kemudian arus listrik menghasilkan tegangan listrik, kemudian didigitalkan dengan ADC (*Analog Digital Converter*) dan disimpan dalam memori komputer. Hasil pengukuran dapat diketahui secara langsung dalam tampilan komputer, berupa data Intensitas, deklinasi, inklinasi dari sampel batuan yang diukur. Setelah pengukuran ini selesai, maka dari keseluruhan sampel yang ada diambil secara acak, kemudian diberi demagnetisasi medan bolak balik dengan menggunakan *Molspin Alternating Field Demagnetizer*.

Pemutaran sampel dilakukan dalam 4 posisi (arah) dengan perbedaan sudut 90° .

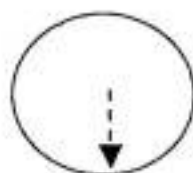
Perubahan arah tersebut diperlihatkan pada gambar 3.1 berikut:



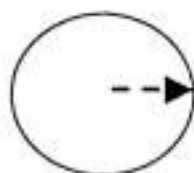
Arah 1



Arah 2



Arah 3



Arah 4

Gambar 3.1. Perubahan posisi sampel pada saat pengukuran intensitas magnetisasi remanen

III.3.2 Tehnik Demagnetisasi

Langkah utama yang dilakukan dalam proses ini adalah memasukkan sampel dalam ruang yang bebas medan magnet dan kemudian diberikan medan bolak-balik. Proses demagnetisasi dimulai dengan meletakkan sampel dalam holder pemutar dan memasukkannya dalam coil 3 lapis mu-metal. Sampel pada coil diputar dan selanjutnya diberikan medan sebesar 0,0025 T. Setelah tahap ini selesai, intensitas NRM sampel kembali diukur dengan *Minispin Magnetometer*. Pengukuran intensitas NRM dilakukan seperti yang telah dikemukakan di atas. Jika intensitas NRM yang diperoleh telah meluruh 10 % dari intensitas mula-mula (I_0), maka pengukuran dihentikan dan siap dianalisa, tetapi jika intensitas NRM yang diperoleh belum meluruh 10 % dari I_0 , maka dilakukan kembali proses demagnetisasi tahap berikutnya yakni pemberian medan bolak-balik sebesar 0,005 T, kemudian intensitas NRMnya diukur lagi, demikian seterusnya. Proses demagnetisasi dilakukan dengan memberikan medan bolak-balik dengan interval 0,0025 T diiringi dengan pengukuran intensitas sampel hingga intensitas sampel meluruh hingga sekitar 10 % dari intensitas awal.

III.4 Pengolahan Data

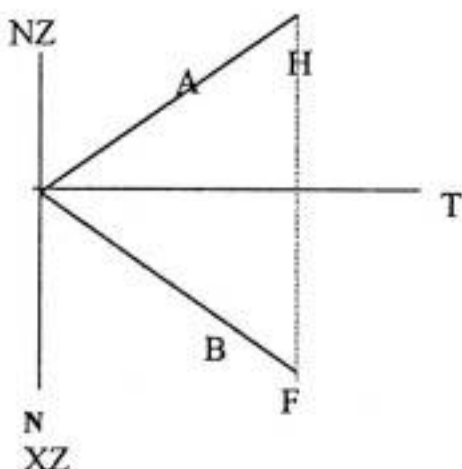
Kestabilan magnetisasi remanen sampel yang diukur, dapat dilihat melalui pengolahan-pengolahan data sebagai berikut:

III.4.1 Kurva Peluruhan Intensitas

Plot peluruhan memperlihatkan plot intensitas magnetik relatif (I/I_0) pada sumbu tegak terhadap tahapan demagnetisasi pada sumbu horizontal. Karakteristik fisis mineral-mineral magnetik yang terkandung di dalam suatu sampel diperiksa kestabilannya dengan melihat hasil plot ini. *Median Destructive Field* (MDF) diamati pada kurva peluruhan intensitas, yaitu nilai medan yang diperoleh saat I/I_0 mencapai setengah dari intensitas mula-mula (medannya 0 T). Sampel yang stabil mempunyai nilai MDF $> 0,01$ T.⁽⁴⁾

III.4.2 Diagram Zijderveld

Diagram Zijderveld merupakan proyeksi dua dimensi dari komponen medan magnet bumi. Diagram Zijderveld dibuat dengan menguraikan deklinasi dan inklinasi menjadi X (utara-timur), Y (barat-timur) dan Z (atas-bawah). Nilai-nilai deklinasi dan inklinasi yang diperoleh pada proses demagnetisasi kemudian diplot pada bidang horizontal (XY) dan bidang vertikal, sehingga perubahan arah dan intensitas tiap tahapan demagnetisasi dapat terlihat. Arah dan intensitas batuan mempunyai sifat membentuk garis lurus menuju pusat koordinat. Komponen NRM akan konsisten membentuk garis lurus menuju pusat koordinat⁽⁵⁾. Sketsa diagram Zijderveld dapat dilihat pada gambar 3.2 dibawah ini:



Gambar.3.2 Sketsa Zijderveld; H komponen F yang dihorizontalkan,

A&B garis peluruhan

III.4.3 Plot Stereonet

Plot Stereonet menyajikan deklinasi dan inklinasi dalam proyeksi Stereografis.

Plot Stereonet memudahkan dalam melihat plot arah magnetisasi pada setiap tahapan dalam proses demagnetisasi. Pola sebaran dot deklinasi-inklinasi yang cenderung mengumpul, mengindikasikan bahwa sampel yang ditinjau bersifat stabil.

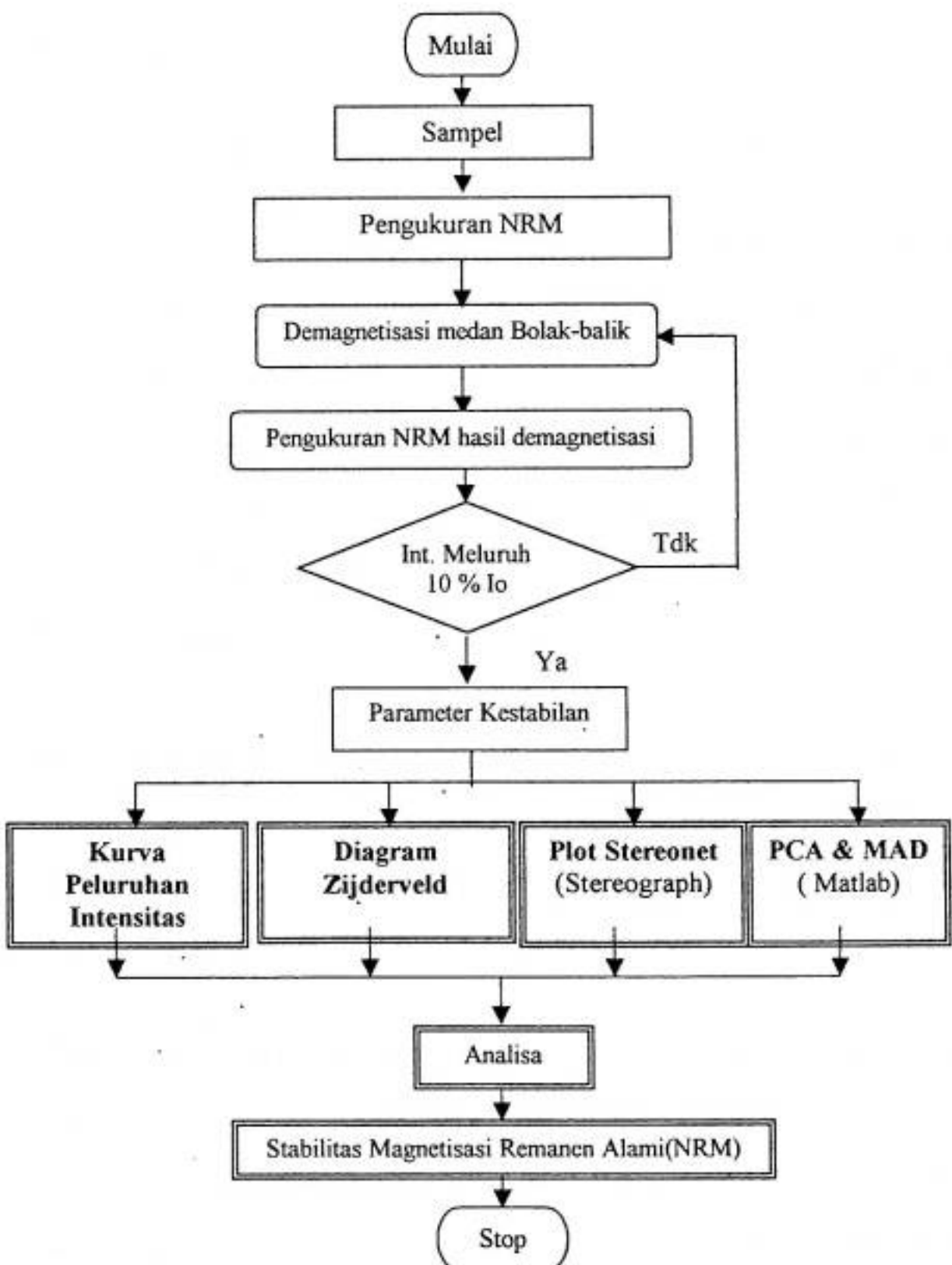
III.4.4 Analisis komponen Utama

Analisis komponen utama diterapkan pada data hasil tahapan demagnetisasi, untuk mendapatkan arah remanen yang tepat, dan tingkat konsistensi arah remanen ini ditentukan dengan parameter kuantitatif MAD melalui persamaan 2.14.

Langkah analisis ini dapat dilihat pada Bab II subbab II.5.2

III.5 Bagan Alir Penelitian

Penentuan Stabilitas Magnetisasi Remanen Alami (NRM)



BAB IV

HASIL DAN PEMBAHASAN

IV. 1 Hasil

IV.1.1 Hasil Pengukuran Intensitas Magnetisasi Remanen Alami

Intensitas dan arah magnetisasi remanen alami batuan beku jenis lava-flow diukur dengan menggunakan *Minispin Magnetometer*. Faktor atenuasinya adalah 100, dengan set gain maksimal. Faktor kalibrasi instrumen pada komponen Utara = 1030,931, Timur = 4,832 dan intensitas = 1,030 A/m, yang cukup akurat untuk melakukan pengukuran. Sampel yang diukur sebanyak 35 sampel yang berasal dari 3 daerah yaitu Pasar bubar (PB), Kali Gendol (KGU), dan Kali Gendong (KGD).

Hasil Pengukuran intensitas magnetisasi remanen alami yang terukur pada daerah Pasar bubar berkisar antara 1,488 A/m – 2,952 A/m, Kali Gendong berkisar antara 1,824 A/m – 13,539 A/m, dan daerah Kali Gendol mempunyai NRM berkisar antara 2,187 A/m – 2,712 A/m.

Sebaran arah-arah deklinasi dari masing-masing daerah memperlihatkan nilai-nilai yang cukup konsisten. PB mempunyai arah deklinasi berkisar antara $325,4^{\circ}$ – 191° , KGU mempunyai arah deklinasi berkisar antara 350° – 11° , sedangkan arah deklinasi KGD berkisar antara 125° - 51° . Inklinasi KGD

berkisar $-21,8^{\circ}$ - 37° , PB berkisar $-38,7^{\circ}$ - $8,7^{\circ}$ dan KGU berkisar $12,7^{\circ}$ - 18° (dapat dilihat pada lampiran B).

IV.1.2 Hasil Pengukuran Magnetisasi Remanen Alami Setelah AFD

Ada 16 sampel yang diberi perlakuan demagnetisasi, yakni sampel dari Kali Gendong masing-masing KGD-A3, KGD-B3, KGD-C3, KGD-D3, sampel dari Kali Gendol masing-masing KGU-A1, KGU-A2, KGU-B2, KGU-C1, KGU-C2, KGU-C3, dan sampel dari Pasar Bubar masing-masing PB-B2, PB-C2, PB-E2, PB-F2, PB-G2. Data hasil demagnetisasi dapat dilihat pada Lampiran C.

Analisis komponen utama pada proses demagnetisasi memberikan rata-rata arah magnetisasi remanen. Kekonsistenan arah magnetisasi remanen sampel dengan menggunakan parameter MAD, dapat dilihat pada tabel 4.1 berikut :

Tabel 4.1 Data hasil Analisis komponen utama NRM dari proses AFD

No.	Sampel	Dek.rata-rata	Ink.rata-rata	MAD
1	KGD-A3	15	-27	6,4
2	KGD-B3	28	-34	4,1
3	KGD-C3	29	-31	7,9
4	KGD-D3	14	-28	3,6
5	KGU-A1	2	-1	1,7
6	KGU-A2	3	0	2,3
7	KGU-B2	10	1	2,1
8	KGU-C1	351	2	6,5
9	KGU-C2	357	0	2
10	KGU-C3	2	2	1,4
11	PB-B2	328	-5	6,9
12	PB-C2	7	2	3,1
13	PB-D2	350	1	5,3
14	PB-E2	354	-30	3,6
15	PB-F2	355	-39	6,8
16	PB-G2	350	31	5,3

IV.2 Pembahasan

IV.2.1 Intensitas dan Arah Magnetisasi Remanen Alami Mula-mula (NRM)

Berdasarkan hasil pengukuran Magnetisasi Remanen Alami , diketahui bahwa sampel yang diuji merupakan batuan yang mengandung mineral Ferromagnetik. Pada medan magnet 0 T, sampel batuan tetap merekam arah dan intensitas magnetisasinya pada saat diberi medan magnet luar.

Sampel KGD mempunyai intensitas NRM rata-rata, yang lebih tinggi dibandingkan dengan sampel PB dan KGU (lihat lampiran B). Penyebab tingginya Intensitas NRM KGD kemungkinan disebabkan oleh banyaknya bulir Ferromagnetik yang terkandung dalam sampel KGD, dan posisinya jauh dari aktivitas magma, sehingga kapasitas termalnya kecil. Suhu sangat berpengaruh terhadap mineral Ferromagnetik, jika diberikan suhu yang cukup tinggi atau bahkan mencapai dari temperatur Curie, maka sifat magnetik dari mineral Ferromagnetik akan berkurang dan bahkan hilang.

IV.2.2 Kestabilan Magnetisasi Remanen Sampel

Proses demagnetisasi pada sampel dari ketiga daerah tersebut memperlihatkan arah magnetisasi remanen yang konsisten. Rata-rata nilai MAD berkisar antara $1,4^{\circ} - 7,9^{\circ}$, yang memenuhi syarat kestabilan NRM ($MAD < 15^{\circ}$). Berdasarkan hasil MAD tersebut diketahui bahwa Sampel KGD, PB, dan KGU mempunyai

tingkat kestabilan arah NRM yang cukup baik. Hasil analisis komponen utama tersebut (MAD), dapat diperkuat dengan meninjau parameter kestabilan (intensitas dan arah) yang lain yakni Kurva Peluruhan intensitas (KPI), diagram Zijderveld, dan Plot Stereonet (lihat lampiran D).

Arah-arah deklinasi dan inklinasi masing-masing sampel pada setiap tahapan demagnetisasi, secara umum memperlihatkan arah yang cukup teratur, seperti yang diperlihatkan pada diagram Zijderveldnya. Arah-arah NRM pada plot Stereonetnya juga cenderung mengumpul. Hal ini menandakan bahwa sampel KGD, KGU dan PB mempunyai kestabilan arah yang cukup baik.

Kurva peluruhan intensitas sampel KGD, secara umum memperlihatkan intensitas NRMnya turun secara drastis pada saat pemberian medan sebesar 0,0025 T (lihat lampiran D). Hal ini menunjukkan bahwa intensitas NRM KGD lebih didominasi oleh intensitas magnetisasi remanen sekunder yang mempunyai stabilitas rendah. Ketidakstabilan tersebut dapat dilihat di KPI dengan tercapainya MDF (penurunan setengah dari intensitas magnetisasi mula-mula), pada tahapan awal demagnetisasi ($< 0,010$ T). Sampel PB mempunyai kestabilan intensitas magnetisasi remanen yang hampir sama dengan sampel KGD, dimana setengah dari intensitas magnetisasi mula-mulanya MDF dapat dihilangkan dengan pemberian medan magnet $H_{AF} < 0,01$ T. Berbeda dengan sampel KGU, berdasarkan KPInya diketahui bahwa KGU membutuhkan medan magnet H_{AF} yang cukup besar, untuk menghilangkan setengah magnetisasi remanen mula-mulanya, yakni MDFnya dicapai pada saat $\geq 0,01$ T. Keadaan ini

BAB V

SIMPULAN DAN SARAN

V. 1 Simpulan

Hasil pengukuran dan pengujian kestabilan NRM batuan beku Gunung Merapi, Jawa Tengah memberikan kesimpulan bahwa:

1. Sampel yang diuji mengandung mineral Ferromagnetik, dilihat dari Magnetisasi Remanen Alami (NRM) sampel yang terukur , yakni:
 - Kali Gendol, intensitas berkisar antara $2,187 \text{ A/m} - 2,712 \text{ A/m}$, dengan arah deklinasi antara $351 - 10^\circ$ dan arah inklinasi $-1^\circ - 2^\circ$.
 - Pasar Bubar, intensitas NRM berkisar antara $1,488 \text{ A/m} - 2,952 \text{ A/m}$, dengan deklinasi $328^\circ - 7^\circ$ dan inklinasinya $-39^\circ - 31^\circ$.
 - Kali Gendong, intensitas NRM berkisar antara $1,824 - 13,539 \text{ A/m}$, dengan deklinasi $14^\circ - 29^\circ$ dan inklinasinya $-34^\circ - -27^\circ$. Daerah ini mempunyai intensitas NRM tertinggi.
2. Kali Gendong dan Pasar Bubar mempunyai intensitas NRM batuan yang tidak stabil terhadap pengaruh demagnetisasi bolak-balik, tetapi mempunyai arah NRM yang stabil.
3. Kali Gendol mempunyai kestabilan NRI.1 (intensitas dan arah) batuan yang baik terhadap pengaruh demagnetisasi bolak-balik.

V. 2 Saran

- Pengukuran intensitas NRM mula-mula, sebaiknya dilakukan dengan terlebih dahulu menempatkan sampel dalam ruang yang bebas medan (dalam AFD), agar intensitas yang terukur betul-betul merupakan intensitas NRM pada daerah tersebut.
- Sampel KGU dapat dipertimbangkan untuk digunakan dalam studi Paleomagnetik.

DAFTAR PUSTAKA

1. Butler, R.F. (1992); “*Paleomagnetism*”, Blackswell Scientific Publication.
2. Damayanti, L.S. (1995); “*Penelitian Paleomagnetisma pada Formasi Tanjung untuk Menentukan Geodinamika Kalimantan*”, Skripsi Jurusan Geofisika dan Meteorologi FMIPA ITB.
3. Dunlop, D.J. and Ozdemir, O. (1997); “*Rock Magnetism Fundamentals and Frontiers*”. Cambridge University Press.
4. Fatni, M. (2000); “*Magnetisasi Remanen Batuan Intrusif Diorit Dari Trenggalek Jawa Timur*”. Tesis Magister Fak. Pascasarjana ITB.
5. Rusli, (2001); “*Magnetisasi Remanen pada Aliran Lava Kali Kuning Di Gunung Merapi*”. Tesis Magister Fak. Pascasarjana ITB.
6. Operation’s Manual “*Minispin. Molspin*” Ltd, New Castle England.
7. Rahmawati, (2002); “*Penentuan Mineral Magnetik Batuan Beku Gunung Merapi dan Trenggalek, Pulau Jawa*”, Jurusan Fisika, Universitas Hasanuddin.
8. Tauxi, (1998); “*Paleomagnetic Principle and Practice*”, Kluwer Academic Publisher.

Lampiran I:
Peta Lokasi Pengambilan
Sampel

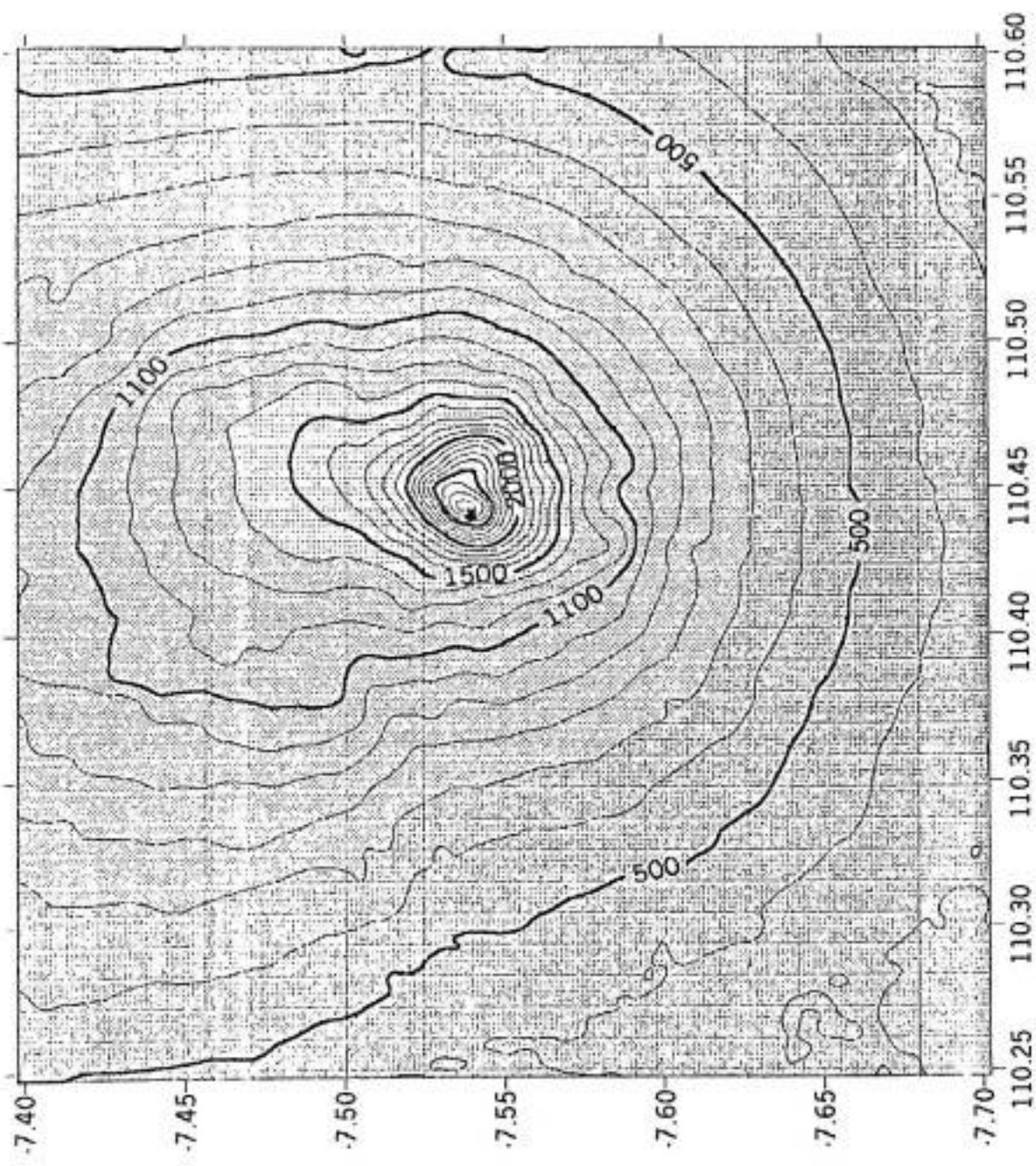
PETA KONTUR DAERAH GUNUNG MERAPI
JAWA TENGAH



OLEH
HUSNA

KETERANGAN :

- KALI GENDOL
- KALI GENDONG
- * PASAR BUBAR
- KALI KUNING



Lampiran II:
Data Hasil Pengukuran
NRM Mula-mula

Tabel :
Hasil Pengukuran Intensitas dan Arah NRM Batuan Beku

No.	Sampel	Dek. (°)	Ink. (°)	Io NRM (A/meter)
1	KGD-A2	115,2	37,6	2,589
2	KGD-A3	62,1	35,2	2,364
3	KGD-A4	117,5	-6,3	1,825
4	KGD-A5	104,0	22,3	1,997
5	KGD-B1	51,0	13,7	9,804
6	KGD-B2	54,9	5,2	7,778
7	KGD-B3	125,4	-0,8	4,447
8	KGD-B4	100,0	-21,8	2,159
9	KGD-C1	58,6	3,0	2,427
10	KGD-C2	59,5	-0,5	13,539
11	KGD-C3	63,1	-2,1	7,214
12	KGD-C4	78,6	-8,5	4,456
13	KGD-D1	92,0	20,1	3,188
14	KGD-D2	79,2	14,9	3,009
15	KGU-A1	3,5	-4,9	2,187
16	KGU-A1	359,0	2,7	2,384
17	KGU-A3	350,0	-18,0	2,354
18	KGU-B2	11,0	-2,2	2,389
19	KGU-C1	359,7	-1,7	2,712
20	KGU-C2	356,1	-0,1	2,667
21	KGU-C3	360,0	-3,8	2,430
22	PB-A1	351,0	-22,7	1,488
23	PB-A2	333,1	-19,9	1,857
24	PB-B1	325,4	-3,6	2,952
25	PB-B2	332,8	3,9	2,180
26	PB-C1	11,0	8,7	2,229
27	PB-C2	6,5	-4,4	2,026
28	PB-D1	191,0	-36,3	2,196
29	PB-D2	348,3	-37,4	2,356
30	PB-E1	340,0	-33,6	2,548
31	PB-E2	354,7	-31,7	2,575
32	PB-F1	344,9	-38,3	2,130
33	PB-F2	352,6	-34,6	2,180
34	PB-G1	350,3	-35,1	2,168
35	PB-G2	345,3	-27,9	2,216

Lampiran III:
Data Hasil Pengukuran
NRM Setelah AFD

Sampel =
KGD A3

Input Data : Deklinasi, Inklinasi, Intensitas

Median 10^{-4} Jy	Dek. Dek.	Inkl. Inkl.	Intensitas mJy/m²	Sumbu X	Sumbu Y	Sumbu Z	Intensitas Relatif	Koordinata H	Sumbu -Z	X(CORR.)	Y(CORR.)	Z(CORR.)	XX	XY	XZ	YY	YZ	ZZ
0	62.1	35.2	2105.301	90.7385	1707.052	1.562.571	1.000	1931.563	-1.362.571	0.382	0.722	0.576	0.146	0.276	0.220	0.522	0.416	0.332
25	30.0	0.3	1313.642	1051.022	605.808	6.345	0.413	1213.615	-6.335	0.866	0.500	0.005	0.740	0.433	0.005	0.250	0.003	0.000
50	17.8	-19.5	1141.400	1024.426	328.907	-381.907	0.481	1075.931	381.907	0.894	0.288	-0.334	0.666	0.259	-0.300	0.083	-0.096	0.111
75	17.6	-23.9	1010.798	898.298	28.1937	-417.5619	0.416	942.411	-417.5619	0.871	0.176	-0.404	0.759	0.241	-0.353	0.076	-0.112	0.164
100	10.7	-29.5	812.140	707.576	133.698	-407.411	0.340	720.097	-407.411	0.845	0.162	-0.492	0.731	0.138	-0.423	0.026	-0.060	0.242
125	10.9	-30.1	605.0609	583.792	113.383	-347.582	0.293	599.610	-347.582	0.850	0.164	-0.502	0.722	0.139	-0.476	0.027	-0.052	0.252
150	9.3	-30.2	636.544	581.505	95.890	-345.545	0.290	593.263	-345.545	0.853	0.140	-0.503	0.727	0.119	-0.429	0.020	-0.070	0.253
175	9.4	-31.7	516.287	433.134	71.743	-371.294	0.213	439.263	-371.294	0.839	0.139	-0.525	0.703	0.117	-0.441	0.019	-0.073	0.276
200	8.4	-30.7	462.846	393.710	58.138	-236.103	0.196	397.979	-236.103	0.851	0.126	-0.511	0.724	0.107	-0.434	0.016	-0.064	0.261
225	8.1	-32.6	402.954	336.083	47.852	-217.100	0.170	339.470	-217.100	0.834	0.119	-0.539	0.696	0.099	-0.449	0.014	-0.064	0.290
250	5.0	-35.7	323.633	261.117	22.906	-188.355	0.137	262.817	-188.355	0.869	0.071	-0.584	0.654	0.057	-0.472	0.005	-0.041	0.341
275	13.0	-39.9	272.805	203.922	47.079	-174.991	0.115	289.286	-174.991	0.745	0.173	-0.641	0.559	0.129	-0.479	0.010	-0.111	0.411
300	6.3	-35.6	254.461	205.653	22.704	-146.128	0.103	206.902	146.128	0.808	0.089	-0.582	0.653	0.072	-0.470	0.008	-0.052	0.339
325	10.4	-35.1	232.175	194.615	68.530	-145.002	0.107	206.317	145.002	0.772	0.272	-0.578	0.596	0.210	-0.444	0.074	-0.146	0.331
350	10.4	-34.6	246.642	199.685	36.167	-140.034	0.104	203.020	140.054	0.810	0.149	-0.568	0.635	0.120	-0.460	0.022	-0.064	0.322
375	3.0	-34.4	230.134	189.626	9.038	-130.018	0.099	189.887	130.018	0.913	-0.565	0.679	0.036	-0.466	0.002	-0.024	0.119	0.119
									psa	11	12	13	22	23	33	33	33	33
Deklinasi =				1.6	0.804	0.214	-0.421	9.666	1.342	-6.045	0.422	-1.110	3.913					
Inklinasi =				-27														
MAD =				6.4														

Sampel KGD B3

Input Data : Deklinasi, Inklinasi, Intensitas

Median 10 ⁻⁴ T	Dekl. Intk.	Intensitas mA/m	Sumbu X	Sumbu Y	Sumbu Z	Intensitas Realtif	Kesalahan H	Sumbu -X	Sumbu -Y	Sumbu -Z	X(CORR.)	Y(CORR.)	Z(CORR.)	XN	YN	XZ	YZ	ZZ
0	125,4	-0,8	-4446,787	-25795,689	36224,346	-62,087	1,000	-4446,554	62,087	-0,579	0,815	-0,014	0,336	-0,472	0,008	0,664	-0,011	0,000
25	71,6	-24,9	1342,717	3844,330	1155,039	-505,312	0,302	1217,903	565,332	0,286	0,861	-0,421	0,082	0,246	-0,121	0,741	-0,362	0,177
50	26,4	-33,4	1174,506	878,276	415,980	-606,543	0,264	980,534	646,543	0,748	0,371	-0,550	0,459	0,278	-0,412	0,138	-0,294	0,303
75	14	-32,2	1108,304	909,981	226,884	-590,589	0,249	937,839	590,589	0,821	0,205	-0,533	0,674	0,168	-0,438	0,042	-0,109	0,234
100	16,9	-32,5	946,202	763,455	11,986	-508,394	0,213	798,019	508,394	0,807	0,245	-0,537	0,651	0,198	-0,434	0,060	-0,132	0,289
125	18,4	-32,1	839,102	690,558	229,718	-456,526	0,193	727,764	456,526	0,804	0,267	-0,531	0,646	0,215	-0,472	0,071	-0,142	0,282
150	17,2	-34,2	653,437	516,275	159,814	-367,246	0,147	540,445	367,286	0,790	0,248	-0,562	0,624	0,193	-0,444	0,060	-0,137	0,316
175	12,7	-32,6	573,154	471,042	106,154	-308,759	0,129	482,555	308,759	0,822	0,185	-0,539	0,675	0,152	-0,443	0,034	-0,100	0,299
200	11,1	-31,1	504,096	423,560	83,100	-260,342	0,113	431,641	260,342	0,840	0,165	-0,517	0,706	0,139	-0,434	0,027	-0,085	0,267
225	12,2	-31,9	464,975	385,836	83,421	-245,711	0,105	392,751	245,711	0,850	0,179	-0,528	0,659	0,149	-0,438	0,032	-0,095	0,279
250	8,6	-33	361,023	324,252	49,039	-212,966	0,068	327,959	212,966	0,829	0,125	-0,545	0,663	0,104	-0,452	0,016	-0,068	0,297
								p5a	11	12	13	22	23	33				
								Deklinasi =	28	0,636	0,535	-0,480	0,657	0,177	-0,436	0,053	-0,119	0,290
								Inklinasi =										
								MAD =										

size
drive

Sampel KGD C3

Input Data : Deklinasi, Inklinasi, Intensitas

Input Data : Deklinasi, Inklinasi, Intensitas

Input Data : Deklinasi, Inklinasi, Intensitas

3,6

Sampel =
PB B2

Input Data : Deklinasi, Inklinasi, Intensitas

Median 10^{-4} (D)	Dekl. Disk.	Inkl. mAm	Intensitas mAm	Sumbu X	Sumbu Y	Sumbu Z	Int. Relatif	Komp. H	Sumbu .Z	X(CORR.)	Y(CORR.)	Z(CORR.)	X(X)	X(Y)	X(Z)	Y(Y)	Y(Z)	Z(Z)
0	332,8	3,9	2180,032	1934,466	-994,181	148,276	1,000	2174,984	-148,276	0,887	-0,456	0,058	0,787	-0,405	0,060	0,208	-0,031	0,003
25	330,3	0,0	1501,380	1,104,146	-743,872	0,000	0,689	1501,380	0,000	0,869	-0,495	0,000	0,735	-0,430	0,000	0,245	0,000	0,000
50	334,0	-3,7	1185,497	1063,297	-518,604	-76,503	0,544	1183,026	76,503	0,897	-0,437	-0,065	0,804	-0,392	-0,058	0,191	0,028	0,004
75	330,4	-4,4	976,341	846,422	-480,834	-74,904	0,448	973,463	74,904	0,867	-0,492	-0,077	0,752	-0,427	-0,067	0,243	0,038	0,006
100	329,5	-5,0	807,499	693,117	-408,277	-70,378	0,370	804,426	70,378	0,838	-0,506	-0,087	0,737	-0,434	-0,075	0,256	0,044	0,008
125	327,6	-5,5	668,465	561,805	-356,532	-64,070	0,307	665,188	64,070	0,840	-0,513	-0,096	0,706	-0,448	-0,081	0,284	0,051	0,009
150	332,7	-5,6	598,738	529,510	-273,300	-58,427	0,275	595,880	58,427	0,884	-0,456	-0,098	0,782	-0,404	-0,086	0,208	0,045	0,010
175	332,7	-5,8	546,359	483,019	-249,304	-55,213	0,251	543,562	55,213	0,884	-0,456	-0,101	0,782	-0,403	-0,089	0,208	0,046	0,010
200	331,5	-4,5	487,239	426,874	-246,874	-38,228	0,224	485,737	38,228	0,876	-0,476	-0,078	0,768	-0,417	-0,069	0,226	0,037	0,006
225	329,0	-4,1	443,690	379,343	-227,932	-31,723	0,204	442,555	31,723	0,855	-0,514	-0,071	0,731	-0,439	-0,061	0,264	0,037	0,005
250	325,7	-3,9	381,541	314,460	-214,510	-25,951	0,175	380,657	25,951	0,824	-0,562	-0,068	0,679	-0,463	-0,056	0,316	0,038	0,005
275	323,2	-5,2	341,187	272,075	-203,538	-30,923	0,157	339,783	30,923	0,797	-0,597	-0,091	0,636	-0,476	-0,072	0,356	0,054	0,008
300	322,4	-5,6	330,652	260,722	-200,783	-32,266	0,152	329,974	32,266	0,789	-0,607	-0,098	0,622	-0,479	-0,077	0,369	0,059	0,010
325	314,1	-6,5	328,001	226,793	-234,032	-37,131	0,150	325,893	37,131	0,691	-0,714	-0,113	0,478	-0,493	-0,078	0,509	0,081	0,013
350	315,8	-20,7	286,125	191,884	-186,599	-101,138	0,131	267,654	101,138	0,671	-0,632	-0,353	0,450	-0,437	-0,237	0,425	0,231	0,125
375	324,4	-7,4	275,504	222,147	-159,041	-35,484	0,126	273,209	35,484	0,806	-0,577	-0,129	0,650	-0,465	-0,104	0,333	0,074	0,017
400	325,1	-6,3	260,016	211,965	-147,869	-28,533	0,119	258,446	28,533	0,815	-0,569	-0,110	0,665	-0,464	-0,089	0,323	0,062	0,012
425	327,2	-9,0	247,323	205,390	-132,365	-38,701	0,113	244,347	38,701	0,830	-0,535	-0,156	0,659	-0,444	-0,130	0,286	0,084	0,024
450	331,5	-2,8	233,115	204,621	-111,100	-11,388	0,107	232,837	11,388	0,878	-0,477	-0,049	0,770	-0,418	-0,043	0,227	0,023	0,002
475	332,3	-4,8	235,672	207,931	-109,166	-19,721	0,108	234,845	19,721	0,882	-0,463	-0,084	0,778	-0,409	-0,074	0,215	0,039	0,007
											pesa	11	12	13	22	23	33	
												0,835	-0,529	-0,093	14,021	-8,749	-1,485	1,040
																	0,285	

Deklinasi = 328
Inklinasi = -5
MAD = 6,9

Sampele PB C2

Input Data : Deklinasi, Inklinasi, Intensitas

Median 10 ⁻⁴ (T)	Dek. Inkl.	Intensitas mA/m	Sumbu X	Sumbu Y	Sumbu Z	Intensitas Komponen Relatif	H	Z	X(CORR.) Y(CORR.) Z(CORR.)	NN	XY	NZ	YY	YZ	ZZ			
0	6,5	-4,4	2026,218	2007,250	228,697	-155,449	1,000	2020,236	155,449	0,991	0,113	-0,977	0,981	0,112	-0,076	0,013	-0,009	0,006
25	7,5	-3,6	1553,065	1536,740	202,316	-97,518	0,766	1550,000	97,518	0,989	0,130	-0,063	0,979	0,129	-0,062	0,017	-0,008	0,004
50	6,0	0,6	1335,575	1328,186	139,598	13,986	0,659	1335,502	-13,986	0,994	0,105	0,010	0,989	0,104	0,010	0,011	0,001	0,000
75	8,2	1,5	1122,181	1110,127	160,001	29,375	0,554	1121,796	-29,375	0,989	0,143	0,026	0,979	0,141	0,026	0,020	0,004	0,001
100	9,6	2,4	927,490	913,699	154,541	38,319	0,458	926,676	-38,839	0,985	0,167	0,042	0,970	0,164	0,041	0,028	0,007	0,002
125	8,9	3,0	818,116	807,158	126,398	42,817	0,404	816,995	-42,817	0,987	0,154	0,052	0,973	0,152	0,052	0,024	0,008	0,003
150	9,0	3,0	667,274	658,156	104,242	3,4222	0,329	666,160	-34,922	0,986	0,156	0,052	0,973	0,154	0,052	0,024	0,008	0,003
175	7,2	3,0	585,997	580,579	73,344	30,669	0,289	585,194	-30,669	0,991	0,125	0,052	0,982	0,124	0,052	0,016	0,007	0,003
200	3,7	3,6	523,808	521,685	13,736	32,890	0,259	522,774	-32,890	0,996	0,064	0,063	0,992	0,064	0,063	0,024	0,008	0,003
225	5,2	3,6	485,199	482,249	-13,888	30,466	0,239	484,242	-30,466	0,994	0,090	0,063	0,988	0,090	0,062	0,028	0,009	0,004
250	4,7	2,1	445,914	444,116	16,513	16,340	0,220	445,615	-16,340	0,996	0,082	0,037	0,992	0,082	0,036	0,016	0,006	0,003
275	7,9	2,6	369,759	365,873	50,769	16,773	0,182	369,378	-16,773	0,989	0,137	0,045	0,979	0,136	0,045	0,019	0,006	0,003
300	4,7	3,3	342,759	350,590	28,857	20,306	0,174	352,174	-20,306	0,995	0,082	0,058	0,990	0,081	0,057	0,007	0,005	0,003
325	11,4	3,6	291,240	284,921	57,450	18,286	0,144	290,655	-18,286	0,978	0,197	0,063	0,957	0,193	0,061	0,039	0,012	0,004
350	5,6	1,9	272,344	270,895	26,562	9,630	0,134	272,194	-9,020	0,995	0,098	0,033	0,989	0,097	0,033	0,010	0,003	0,001
375	5,2	4,5	243,867	242,115	22,034	19,134	0,120	243,115	-19,134	0,993	0,090	0,078	0,986	0,090	0,078	0,008	0,007	0,006
400	6,7	1,1	242,458	240,758	28,283	4,655	0,120	242,413	-4,655	0,993	0,117	0,019	0,986	0,118	0,014	0,014	0,002	0,000
425	6,8	0,8	226,139	224,725	26,797	3,160	0,112	226,117	-3,160	0,993	0,118	0,014	0,986	0,112	0,013	0,013	0,004	0,001
450	6,5	1,9	226,339	224,760	25,608	7,504	0,112	226,215	-7,504	0,993	0,113	0,033	0,986	0,112	0,012	0,009	0,001	0,002
475	1,2	2,5	214,950	214,698	4,497	9,376	0,106	214,745	-9,376	0,999	0,021	0,044	0,993	0,021	0,044	0,009	0,001	0,002

Deklinasi = 7
Inklined = 2
MAD = 3,1p₂₃ = 0,032
p₂₄ = 0,115
p₂₅ = 0,9910,009
0,008
0,007
0,006
0,005
0,004
0,003
0,002
0,001
0,0000,009
0,008
0,007
0,006
0,005
0,004
0,003
0,002
0,001
0,0000,008
0,007
0,006
0,005
0,004
0,003
0,002
0,001
0,0000,008
0,007
0,006
0,005
0,004
0,003
0,002
0,001
0,0000,008
0,007
0,006
0,005
0,004
0,003
0,002
0,001
0,0000,008
0,007
0,006
0,005
0,004
0,003
0,002
0,001
0,0000,008
0,007
0,006
0,005
0,004
0,003
0,002
0,001
0,0000,008
0,007
0,006
0,005
0,004
0,003
0,002
0,001
0,0000,008
0,007
0,006
0,005
0,004
0,003
0,002
0,001
0,0000,008
0,007
0,006
0,005
0,004
0,003
0,002
0,001
0,0000,008
0,007
0,006
0,005
0,004
0,003
0,002
0,001
0,0000,008
0,007
0,006
0,005
0,004
0,003
0,002
0,001
0,0000,008
0,007
0,006
0,005
0,004
0,003
0,002
0,001
0,000

Sampel PB D2

Input Data : Deklinasi, Inklinasi, Intensitas

Median 10^{-4} (T)	Dekl.	Inkl.	Intensitas mA/m	Sumber X	Sumber Y	Sumber Z	Intensitas Relatif	H	B	-Z	X(CORR.)	Y(CORR.)	Z(CORR.)	XN	YN	ZN	YY	YZ	ZX	ZZ	
0	348,3	-37,4	2355,962	1832,724	-179,539	-1430,954	1,0000	1871,611	1430,954	0,778	-0,161	-0,607	0,605	-0,125	-0,472	0,026	0,098	0,369			
25	347,3	-35,3	1629,054	1293,79	-291,568	-945,996	0,691	1326,238	945,996	0,794	-0,179	-0,581	0,631	-0,142	-0,461	0,032	0,104	0,337			
50	342,5	-34,2	1245,832	982,753	-309,861	-700,290	0,529	1030,445	700,290	0,789	-0,249	-0,562	0,622	-0,196	-0,443	0,062	0,140	0,316			
75	341,8	-34,0	1144,636	901,472	-296,189	-640,072	0,486	948,946	640,072	0,788	-0,259	-0,559	0,620	-0,204	-0,440	0,067	0,145	0,313			
100	346,6	-32,6	962,342	738,656	-187,884	-518,482	0,408	810,727	518,482	0,820	-0,195	-0,539	0,672	-0,160	-0,442	0,038	0,105	0,290			
125	350,3	-28,8	851,053	735,121	-125,657	-409,998	0,361	745,783	409,998	0,864	-0,148	-0,482	0,746	-0,128	-0,416	0,022	0,071	0,232			
150	354,8	-25,4	790,473	693,131	-63,080	-330,483	0,327	695,995	330,483	0,900	-0,082	-0,429	0,809	-0,074	-0,386	0,007	0,035	0,184			
175	354,1	-27,9	679,322	597,181	-61,713	-319,875	0,288	600,361	317,875	0,879	-0,091	-0,468	0,773	-0,080	-0,411	0,008	0,043	0,219			
200	354,0	-25,3	553,635	497,808	-52,322	-236,669	0,235	500,550	236,609	0,899	-0,095	-0,427	0,808	-0,085	-0,384	0,009	0,040	0,183			
225	353,0	-27,8	448,301	391,603	-48,328	-209,082	0,190	396,559	209,082	0,878	-0,108	-0,466	0,771	-0,095	-0,409	0,012	0,050	0,218			
250	352,0	-31,8	346,274	291,432	-40,958	-182,471	0,147	294,296	182,471	0,842	-0,118	-0,527	0,708	-0,100	-0,443	0,014	0,062	0,278			
275	351,0	-31,5	248,040	208,885	-33,084	-129,601	0,105	211,489	129,601	0,842	-0,133	-0,522	0,709	-0,112	-0,440	0,018	0,070	0,273			
300	348,0	-24,7	217,524	191,304	-41,088	-90,896	0,092	197,622	90,896	0,889	-0,189	-0,418	0,790	-0,168	-0,371	0,036	0,079	0,175			
											Pca			11	12	13	22	23	33		
														350	0,843	-0,154	-0,507	9,265	-1,668	-5,521	
																	0,350	1,042	3,386		

Deklinasi =
Inklinasi =
MAD =

350
-31
5,3

Input Data : Deklinasi, Inklinasi, Intensitas

Median 10^{-4} (T)	Dek	Incl	Intensitas m.Mm	Sumbu X	Sumbu Y	Sumbu Z	Relatif	Intensitas	Komponen H	Sumbu -Z	N(CORR.) Y(CORR.)	XX	XY	XZ	YY	YZ	ZZ	
0	354,7	-31,7	2574,534	2181,077	-202,332	-1352,845	1,000	2190,442	1352,845	0,847	-0,079	-0,525	0,718	-0,067	-0,445	0,006	0,041	0,276
2,5	351,0	-29,8	1837,228	1,574,655	-219,401	-913,054	0,714	1594,283	913,054	0,857	-0,136	-0,497	0,735	-0,116	-0,426	0,018	0,067	0,247
5,0	351,9	-31,9	1507,123	1,266,740	-180,284	-796,422	0,585	1279,505	796,422	0,841	-0,120	-0,528	0,706	-0,101	-0,444	0,014	0,063	0,279
7,5	350,8	-34,3	1212,182	938,490	-170,102	-683,096	0,471	1091,381	683,096	0,815	-0,132	-0,564	0,665	-0,108	-0,460	0,017	0,074	0,318
10,0	350,0	-33,7	1120,453	925,720	-162,746	-625,096	0,438	937,157	625,096	0,819	-0,144	-0,555	0,671	-0,118	-0,455	0,021	0,080	0,308
12,5	351,3	-32,9	974,834	809,816	-120,981	-529,505	0,379	329,293	818,490	0,830	-0,124	-0,543	0,690	-0,103	-0,451	0,015	0,067	0,295
15,0	353,8	-28,8	811,201	725,869	-78,835	-401,198	0,324	730,140	461,398	0,871	-0,095	-0,482	0,759	-0,082	-0,420	0,039	0,046	0,232
17,5	355,8	-26,4	750,982	670,857	-49,265	-313,913	0,292	672,663	333,913	0,893	-0,066	-0,445	0,798	-0,059	-0,397	0,034	0,029	0,198
20,0	358,2	-26,7	685,732	585,523	-18,401	-294,633	0,255	585,812	294,633	0,893	-0,028	-0,449	0,797	-0,025	-0,401	0,001	0,013	0,202
22,5	355,9	-27,5	517,86	458,172	-32,842	-219,121	0,201	459,347	219,121	0,885	-0,063	-0,462	0,783	-0,056	-0,409	0,004	0,029	0,213
25,0	358,6	-26,4	407,807	360,691	-8,815	-179,102	0,156	360,799	179,102	0,895	-0,022	-0,445	0,802	-0,020	-0,398	0,000	0,010	0,198
27,5	353,6	-31,0	271,776	231,506	-25,968	-139,975	0,106	232,958	139,975	0,852	-0,026	-0,515	0,725	-0,081	-0,439	0,009	0,049	0,265
30,0	352,9	-27,3	222,798	202,637	-25,240	-105,397	0,089	204,202	105,397	0,882	-0,110	-0,459	0,778	-0,097	-0,404	0,012	0,050	0,210

Deklinasi =	354	0,860	-0,093	0,498	0,927	-1,033	-5,548	0,132	0,620	3,241
Inklinasi =	-30									
MAD =	3,6									

Sampel PB-F2

Input Data : Deklinasi, Inklinasi, Intensitas

Median 10^{-4} (T)	Dek.	Int.	Intensitas m.A/m	Sumbu X	Sumbu Y	Sumbu Z	Komponen Relatif	Komponen II	Komponen III	Sumbu X(CORR.)	X(YCORR.)	Y(CORR.)	Z(CORR.)	XX	XY	XZ	YY	YZ	ZY	ZZ
0	352,6	-34,6	2180,506	1779,905	-231,169	-1238,187	1,000	1794,854	1238,187	0,816	-0,106	-0,563	0,666	-0,037	-0,464	0,011	0,060	0,322		
25	350,5	-35,1	1581,902	1276,483	-213,610	-209,602	0,725	1294,211	907,602	0,807	-0,135	-0,575	0,651	-0,109	-0,464	0,018	0,078	0,331		
50	351,7	-36,8	1273,216	1608,825	-147,172	-76,2,636	0,584	1019,504	762,636	0,792	-0,116	-0,599	0,628	-0,092	-0,475	0,013	0,069	0,359		
75	352,8	-36,3	1645,471	834,111	-205,562	-618,695	0,479	842,252	618,696	0,800	-0,101	-0,592	0,639	-0,081	-0,473	0,010	0,060	0,350		
100	353,4	-37,8	9149,399	748,446	-88,911	-517,855	0,427	771,563	517,855	0,824	-0,076	-0,556	0,681	-0,079	-0,459	0,009	0,053	0,309		
125	356,1	-31,4	823,711	761,451	-47,820	-429,161	0,178	703,079	429,161	0,852	-0,058	-0,521	0,725	-0,049	-0,444	0,003	0,030	0,271		
150	351,2	-29,4	764,616	645,702	-101,911	-375,153	0,351	666,144	375,153	0,861	-0,133	-0,491	0,741	-0,115	-0,423	0,018	0,065	0,241		
175	355	-26,5	531,135	473,522	-41,428	-236,291	0,244	475,131	236,291	0,892	-0,078	-0,446	0,795	-0,070	-0,398	0,006	0,035	0,199		
200	358,1	-23,5	369,613	318,578	-11,232	-147,299	0,169	338,765	147,299	0,917	-0,040	-0,399	0,840	-0,028	-0,365	0,001	0,012	0,159		
225	358,3	-21,5	324,971	402,179	-88,908	-119,084	0,149	302,312	119,084	0,910	-0,028	-0,367	0,865	-0,026	-0,341	0,001	0,010	0,134		
250	359,6	-18,8	221,047	269,249	-1,461	-71,236	0,101	209,254	71,236	0,947	-0,077	-0,322	0,896	-0,006	-0,305	0,002	0,104			
275	359,3	-21	138,591	126,476	-1,546	-48,591	0,062	126,585	-48,591	0,934	-0,011	-0,358	0,871	-0,011	-0,335	0,002	0,094	0,128		
								psd		11	12	13	22	23	33					
								Deklinasi =	355	0,864	-0,075	-0,495	0,091	0,479						
								Inklinasi =	-29											

Input Data : Deklinasi, Inklinasi, Intensitas

sampel
KGU-AJ

Input Data : Deklinasi, Inklinasi, Intensitas

Median in ' (")	Dek. ink.	Inkl. ink.	Intensitas m.Amn	Sumbu X	Sumbu Y	Sumbu Z	Intensitas Relatif	Komponen H	Sumbu -Z.	X (CCW.R.)	Y (CCW.R.)	Z (CCW.R.)	NN	XY	XZ	YY	YZ	ZZ
0	3,5	-4,9	2187,779	2178,419	13,694	-186,844	1,000	2179,884	186,844	0,994	0,061	-0,085	0,989	0,060	-0,045	0,004	-0,005	0,007
25	5,9	-2,4	2037,707	2025,224	209,287	-85,334	0,932	2036,010	85,334	0,994	0,103	-0,042	0,988	0,102	-0,042	0,011	-0,004	0,002
50	6,2	-2,3	1935,650	1942,634	211,038	-78,483	0,894	1954,064	78,483	0,993	0,108	-0,040	0,987	0,107	-0,040	0,012	-0,004	0,002
75	3,1	-1,9	1916,941	1913,041	101,690	-63,457	0,476	1915,887	63,457	0,998	0,054	-0,033	0,996	0,054	-0,033	0,003	-0,002	0,001
100	2,3	-0,3	1772,560	1771,117	71,135	-9,281	0,410	1772,545	9,281	0,999	0,050	-0,005	0,998	0,040	-0,005	0,002	0,000	0,000
125	2,8	-0,5	1689,983	1687,901	81,552	-14,744	0,773	1689,919	14,744	0,999	0,049	-0,009	0,994	0,049	-0,009	0,002	0,000	0,000
150	3,2	-0,8	1512,768	1510,262	84,437	-21,122	0,692	1512,621	21,122	0,998	0,056	-0,014	0,997	0,056	-0,014	0,003	-0,001	0,000
175	0,8	-0,5	1418,162	1418,061	19,306	-7,425	0,643	1418,143	7,425	1,000	0,014	-0,005	1,000	0,014	-0,005	0,000	0,000	0,000
200	2,1	-0,7	1321,174	1320,118	45,409	-16,141	0,604	1321,075	16,141	0,999	0,047	-0,012	0,999	0,047	-0,012	0,001	0,000	0,000
225	2,2	-0,7	1204,251	1203,125	48,524	-15,443	0,578	1264,157	15,443	0,999	0,048	-0,012	0,998	0,048	-0,012	0,001	0,000	0,000
250	4,5	-1,1	1110,877	1107,248	87,542	-21,326	0,508	1110,672	21,326	0,997	0,078	-0,019	0,993	0,078	-0,019	0,006	-0,001	0,000
275	0,4	-0,9	915,401	915,360	16,701	-15,008	0,437	945,331	15,008	1,000	0,007	-0,016	1,000	0,007	-0,016	0,000	0,000	0,000
300	0,1	-0,4	742,115	742,096	1,295	-5,181	0,359	742,097	-5,181	1,000	0,002	-0,007	1,000	0,002	-0,007	0,006	-0,001	0,000
325	2,5	-0,7	659,263	658,545	30,499	-8,543	0,320	659,211	8,543	0,999	0,044	-0,012	0,998	0,044	-0,012	0,002	0,000	0,000
350	2,3	-0,2	600,187	599,700	24,066	-3,095	0,274	600,183	2,095	0,999	0,040	-0,016	1,000	0,040	-0,016	0,000	0,000	0,000
375	1,0	-0,3	561,282	560,933	19,588	-2,939	0,257	561,275	2,939	0,999	0,038	-0,005	0,999	0,038	-0,005	0,005	0,000	0,000
400	3,1	-0,3	452,874	452,017	27,793	-2,533	0,221	452,817	2,533	0,998	0,038	-0,005	0,997	0,038	-0,005	0,005	0,000	0,000
425	2,8	-1,6	445,671	444,965	21,762	-12,444	0,204	445,497	12,444	0,998	0,049	-0,023	0,997	0,049	-0,023	0,002	0,000	0,000
450	1,0	-0,1	400,950	400,883	6,998	-0,700	0,183	400,949	0,700	1,000	0,017	-0,002	1,000	0,017	-0,002	0,000	0,000	0,000
475	0,7	-0,7	358,549	358,491	4,747	-1,747	0,178	358,520	4,747	1,000	0,012	-0,012	1,000	0,012	-0,012	0,000	0,000	0,000
500	0,5	-0,3	356,53	356,135	3,106	-1,864	0,163	356,448	1,864	1,000	0,009	-0,005	1,000	0,009	-0,005	0,000	0,000	0,000
525	0,9	-0,4	340,179	340,129	5,343	-2,375	0,156	340,171	2,375	1,000	0,016	-0,007	1,000	0,016	-0,007	0,000	0,000	0,000
550	0,9	-0,5	325,950	325,897	5,120	-2,844	0,149	325,938	2,844	1,000	0,016	-0,006	1,000	0,016	-0,006	0,000	0,000	0,000
575	0,5	-0,5	300,223	300,200	2,620	-2,620	0,137	300,212	2,620	1,000	0,016	-0,007	1,000	0,016	-0,007	0,000	0,000	0,000
600	0,4	-0,5	280,000	279,983	1,955	-2,443	0,128	279,989	2,443	1,000	0,007	-0,009	1,000	0,007	-0,009	0,000	0,000	0,000
625	0,3	-0,8	266,444	266,414	1,395	-3,720	0,122	266,418	3,720	1,000	0,009	-0,014	1,000	0,009	-0,014	0,000	0,000	0,000
650	0,4	-1,5	232,497	232,794	3,254	-6,097	0,106	232,417	6,097	1,000	0,014	-0,026	0,999	0,014	-0,026	0,000	0,000	0,000
675	0,7	-0,4	219,672	220,649	3,006	-1,603	0,105	220,666	1,603	1,000	0,012	-0,007	1,000	0,012	-0,007	0,000	0,000	0,000

Deklinasi = 2
Inklinasi = -1
NAD = 1,7

Input Data : Deklinasi, Inklinasi, Intensitas

Median 10-4 (T)	Dekl. Inkl.	Inkl.	Intensitas m A/m	Sintesis N	Sintesis Y	Sintesis Z	Koeffisien Relatif	Sumbu Komponen	Sumbu H	Sumbu -Z	X(CORR.)	Y(CORR.)	Z(CORR.)	XN	YN	ZN	YY	YZ	ZZ				
0	359,0	-2,7	2381,979	-112,301	1,000	2,381,332	112,301	0,999	-0,017	-0,047	0,997	-0,017	-0,017	0,000	0,001	0,001	0,000	0,000	0,002				
25	359,5	-1,6	2269,750	2,208,875	-7,710	-61,700	0,917	2,208,888	61,700	1,000	-0,003	-0,028	0,999	-0,003	-0,018	0,000	0,000	0,000	0,001				
50	359,0	-1,3	2010,100	2069,277	-15,072	-45,604	0,841	2009,563	-45,604	1,000	-0,017	-0,023	0,999	-0,017	-0,013	0,000	0,000	0,000	0,001				
75	5,4	-6,7	1947,054	1938,298	143,223	-23,788	0,817	1946,939	23,788	0,993	0,094	-0,012	0,991	0,094	-0,012	0,009	-0,009	-0,001	0,000				
100	358,1	-0,4	1861,218	1860,146	-41,707	-12,594	0,781	1861,170	12,594	0,999	-0,033	-0,007	0,999	-0,033	-0,007	0,001	0,000	0,000	0,000				
125	2,9	-0,2	1750,274	1748,022	88,521	-6,110	0,734	1750,263	6,110	0,999	0,051	-0,033	0,997	0,051	-0,033	0,003	0,003	0,000	0,000				
150	359,8	-0,3	1646,230	1646,197	5,346	-8,620	0,691	1646,207	8,620	1,000	-0,003	-0,003	1,000	-0,003	-0,003	0,000	0,000	0,000	0,000				
175	2,7	-0,9	1504,245	1502,350	70,851	-23,428	0,631	1504,059	23,428	0,999	0,047	-0,016	0,998	0,047	-0,016	0,002	-0,001	0,000	0,000				
200	2,8	-0,4	1419,158	1417,429	69,324	-9,903	0,595	1419,123	9,903	0,999	0,049	-0,007	0,998	0,049	-0,007	0,002	0,002	0,000	0,000				
225	2,5	-0,2	1323,851	1322,615	52,747	-4,021	0,558	1323,875	4,621	0,999	0,044	-0,003	0,998	0,044	-0,003	0,002	0,002	0,000	0,000				
250	3,6	-0,4	1256,100	1253,631	77,613	-8,030	0,519	1236,070	8,630	0,991	0,005	-0,007	0,996	0,005	-0,007	0,004	0,000	0,000	0,000				
275	4,4	-0,1	1134,534	1121,191	87,041	-1,960	0,376	1134,536	1,960	0,997	0,077	-0,002	0,994	0,077	-0,002	0,006	0,006	0,000	0,000				
300	2,0	0,2	1071,171	1060,501	34,799	3,481	0,418	997,116	-3,481	0,999	0,044	-0,003	0,998	0,044	-0,003	0,002	0,002	0,000	0,000				
325	2,9	-0,2	981,246	890,099	-45,050	-1,111	0,374	891,241	1,111	0,999	0,031	-0,003	0,997	0,031	-0,003	0,000	0,000	0,000	0,000				
350	4,7	-0,3	796,608	793,993	6,5,13,5	-4,182	0,338	798,684	-4,182	0,997	0,082	-0,004	0,993	0,082	-0,004	0,007	0,007	0,000	0,000				
375	2,3	-0,2	702,471	701,901	18,191	-2,352	0,395	702,467	2,352	0,999	0,040	-0,003	0,998	0,040	-0,003	0,002	0,002	0,000	0,000				
400	3,4	-0,2	688,910	687,734	20,671	-2,535	0,291	688,915	2,535	0,998	0,059	-0,003	0,996	0,059	-0,003	0,003	0,003	0,000	0,000				
425	4,3	-0,1	544,876	543,141	-30,734	0,101	0,229	544,778	0,954	0,997	0,075	-0,002	0,994	0,075	-0,002	0,006	0,006	0,000	0,000				
450	7,3	0,1	528,044	524,684	10,209	0,912	0,122	528,933	-0,921	0,992	0,127	0,002	0,984	0,127	0,002	0,016	0,016	0,000	0,000				
475	2,1	0,2	512,112	511,778	18,766	1,798	0,215	512,119	-1,784	0,999	0,037	0,003	0,999	0,037	0,003	0,001	0,001	0,000	0,000				
500	2,4	1,3	474,296	473,758	19,476	10,761	0,199	474,174	-10,761	0,999	0,042	0,023	0,998	0,042	0,023	0,013	0,013	0,001	0,001				
525	3,0	-0,5	459,562	458,918	34,051	-0,019	0,193	459,545	-0,010	0,999	0,002	-0,009	0,997	0,002	-0,009	0,003	0,003	0,000	0,000				
550	7,7	-0,1	419,594	415,721	56,208	-0,732	0,176	419,593	0,732	0,991	0,134	-0,002	0,982	0,133	-0,002	0,018	0,018	0,000	0,000				
575	1,8	0,6	397,808	395,693	12,498	-4,167	0,167	397,826	-4,167	0,999	0,031	0,010	0,999	0,031	0,010	0,010	0,010	0,000	0,000				
600	2,8	-0,2	382,082	382,223	18,694	-1,336	0,161	382,689	1,336	0,999	0,049	-0,003	0,998	0,049	-0,003	0,002	0,002	0,000	0,000				
625	2,2	0,1	355,409	355,145	13,643	0,630	0,149	355,408	-0,620	0,999	0,038	0,002	0,999	0,038	0,002	0,001	0,001	0,000	0,000				
																pia	11	12	13	22	23	23	
																	25,900	1,197	-0,148	0,096	-0,002	0,005	

Deklinasi = 3
 Inklinasi = 0
 MAD = 2,5

SAMPLE
KGU-B2

Input Data : Deklinasi, Inklinasi, Intensitas

Medan 16.4 (T)	Dek.	Ink.	Intensitas m.A/m	Sumbu X	Sumbu Y	Sumbu Z	Intensitas Relatif	Komponen H	Sumbu -Z	X(CORR.)	Y(CORR.)	Z(CORR.)	XX	XY	XZ	YY	YZ	ZZ
0	11,0	-2,2	2435,959	2389,341	464,560	-93,511	1,600	2434,163	93,511	0,981	0,191	-0,058	0,962	0,137	-0,038	0,036	-0,007	0,001
25	10,3	-1,2	2198,077	2162,181	392,914	-6,033	0,902	2197,595	46,033	0,984	0,179	-0,021	0,968	0,176	-0,021	0,032	-0,004	0,000
50	12,5	-0,5	2116,200	2065,950	458,012	-18,467	0,869	2116,119	18,467	0,976	0,216	-0,009	0,953	0,211	-0,019	0,047	-0,002	0,000
75	12,0	-0,4	1992,876	1949,279	414,332	-13,913	0,818	1992,827	13,913	0,973	0,203	-0,007	0,957	0,203	-0,007	0,043	-0,001	0,000
100	9,9	-0,1	1843,338	1825,738	318,642	-3,235	0,761	1853,335	3,235	0,983	0,172	-0,002	0,970	0,169	-0,002	0,030	0,000	0,000
125	9,5	0,1	1779,363	1754,957	293,679	3,106	0,730	1779,360	-3,106	0,986	0,165	0,002	0,973	0,163	0,002	0,027	0,000	0,000
150	10,0	0,2	1632,580	1607,768	293,493	5,699	0,670	1632,570	-5,699	0,985	0,174	0,003	0,970	0,171	0,003	0,030	0,001	0,000
175	8,1	0,4	1481,479	1466,664	208,737	10,343	0,608	1481,443	-10,343	0,990	0,141	0,007	0,980	0,139	0,007	0,020	0,001	0,000
200	8,0	1,0	1408,574	1394,653	196,006	24,583	0,578	1408,289	-24,583	0,990	0,139	0,017	0,980	0,138	0,017	0,019	0,002	0,000
225	10,6	1,0	1301,114	1278,716	239,365	22,704	0,534	1300,916	-22,708	0,983	0,184	0,017	0,966	0,181	0,017	0,034	0,003	0,000
250	9,9	0,7	1224,545	1216,071	212,238	15,082	0,507	1234,455	-15,082	0,985	0,172	0,012	0,970	0,169	0,012	0,030	0,002	0,000
275	7,3	0,9	1085,558	1076,646	139,231	17,052	0,446	1085,454	-17,052	0,992	0,127	0,016	0,984	0,118	0,016	0,016	0,002	0,000
300	8,4	1,4	977,170	961,368	111,768	23,751	0,399	971,830	-23,751	0,989	0,146	0,024	0,978	0,144	0,024	0,021	0,004	0,001
325	11,0	0,9	8,1,092	8,1,787	1,97,54	12,929	0,338	8,12,990	-12,929	0,982	0,191	0,016	0,965	0,137	0,015	0,036	0,003	0,000
350	8,0	0,9	7,30,068	7,21,371	[a],1,51	11,467	0,300	7,29,975	-11,467	0,993	0,139	0,016	0,980	0,118	0,016	0,016	0,002	0,000
375	10,5	1,4	6,19,077	6,38,013	118,250	15,858	0,266	614,853	-15,848	0,983	0,182	0,024	0,978	0,179	0,024	0,021	0,004	0,001
400	12,4	1,4	5,79,852	5,66,156	124,478	14,167	0,238	579,679	-14,167	0,976	0,215	0,024	0,953	0,210	0,024	0,046	0,005	0,001
425	16,0	1,5	5,46,010	5,24,679	150,449	14,293	0,224	545,823	-14,293	0,961	0,276	0,026	0,923	0,265	0,025	0,076	0,007	0,001
450	9,6	1,1	4,90,391	4,81,655	85,013	9,789	0,209	499,797	-9,789	0,986	0,167	0,019	0,972	0,164	0,019	0,028	0,003	0,000
475	10,7	0,4	4,04,431	4,85,887	91,808	3,452	0,203	494,479	-3,452	0,983	0,186	0,007	0,963	0,132	0,007	0,034	0,001	0,000
500	9,9	0,3	4,67,285	4,60,613	81,380	2,458	0,200	437,878	-2,458	0,985	0,172	0,005	0,970	0,169	0,005	0,030	0,001	0,000
525	11,1	1,1	4,30,569	4,22,377	R2,867	3,264	0,177	430,410	-3,264	0,981	0,192	0,019	0,963	0,189	0,019	0,037	0,004	0,000
550	7,8	1,0	3,00,526	39,5,820	54,222	6,974	0,164	399,525	-6,974	0,991	0,136	0,017	0,988	0,134	0,017	0,034	0,002	0,000
575	11,3	1,0	3,73,519	371,125	74,158	6,066	0,146	373,451	-6,066	0,982	0,196	0,017	0,961	0,192	0,017	0,030	0,003	0,000
600	9,8	1,3	3,67,620	30,2,167	R2,496	3,340	0,151	367,525	-3,340	0,983	0,170	0,023	0,971	0,168	0,022	0,029	0,004	0,001
625	9,0	0,1	3,13,706	1,31,063	52,540	0,936	0,138	335,707	-0,936	0,988	0,156	0,002	0,976	0,155	0,002	0,034	0,003	0,000
650	12,2	0,3	2,88,301	281,736	60,924	1,510	0,118	288,297	-1,510	0,977	0,211	0,005	0,955	0,207	0,005	0,045	0,001	0,000
675	7,4	0,5	206,812	264,302	24,317	2,536	0,109	266,522	-2,536	0,992	0,129	0,009	0,983	0,128	0,009	0,017	0,001	0,000
700	13,2	1,0	296,323	299,140	60,763	4,646	0,109	266,132	-4,646	0,973	0,228	0,017	0,948	0,222	0,017	0,052	0,004	0,000

Deklinasi =

10

Inklinasi =

1

LLAD =

2,1

Input Data : Diklinalis, Intensitas, Intensitas

	Median 10 °C	Dek. Ink.	Intensitas mJ/m²	Sumbu N	Sumbu V	Sumbu R	Intensitas Relatif	Komponen H	Komponen -Z	Sumbu N(CORR.)	Y(CORR.)	Z(CORR.)	XK	XY	XZ	YX	YZ	ZZ
0	359,7	-1,7	2711,557	2710,326	-80,442	-14,191	1,000	2710,364	30,442	1,000	-0,005	0,499	-0,005	-0,030	0,000	0,000	0,001	
25	348,9	0,0	2613,440	2464,549	-503,145	0,000	0,964	2613,440	0,000	0,981	-0,193	0,000	0,963	-0,189	0,000	0,037	0,000	
50	351,4	0,1	2521,176	2492,825	-177,011	4,400	0,930	2521,172	-4,400	0,989	-0,150	0,002	0,978	-0,148	0,002	0,022	0,000	
75	351,7	0,5	2284,583	2279,578	-129,637	19,928	0,842	2283,496	-19,928	0,949	-0,144	0,009	0,979	-0,143	0,009	0,021	-0,001	
100	357,0	0,8	2166,156	2163,121	-108,124	28,848	0,762	2165,955	-28,848	0,999	-0,052	0,014	0,997	-0,052	0,014	0,003	-0,001	
125	352,6	1,0	1986,579	1969,731	-255,824	34,671	0,733	1986,276	-34,671	0,992	-0,129	0,017	0,983	-0,128	0,017	-0,002	0,000	
150	357,5	0,9	1856,907	1854,911	-80,987	29,167	0,685	1856,678	-29,167	0,999	-0,044	0,016	0,998	-0,044	0,016	0,002	-0,001	
175	350,9	1,7	1648,893	1637,295	-262,252	49,213	0,612	1658,163	-49,213	0,947	-0,158	0,030	0,974	-0,156	0,029	0,025	-0,005	
200	352,0	1,4	1517,176	1501,962	-211,987	37,058	0,560	1516,723	-37,068	0,950	-0,139	0,024	0,980	-0,138	0,024	0,011	0,000	
225	357,4	1,4	1411,582	1409,708	-64,014	34,488	0,521	1411,161	-34,488	0,999	-0,045	0,024	0,997	-0,045	0,024	0,003	0,001	
250	354,2	1,3	1367,597	1360,246	-178,169	31,027	0,504	1367,245	-31,027	0,995	-0,101	0,025	0,989	-0,100	0,033	0,010	-0,002	
275	350,6	1,8	1281,402	1263,572	-209,183	40,250	0,473	1280,770	-40,250	0,946	-0,163	0,031	0,972	-0,161	0,031	0,027	-0,005	
300	353,3	2,1	1208,549	1199,489	-140,508	44,286	0,446	1207,737	-44,286	0,993	-0,117	0,037	0,985	-0,116	0,036	0,014	-0,004	
325	351,2	2,1	1134,910	1120,797	-173,509	41,587	0,419	1134,148	-41,587	0,948	-0,153	0,037	0,975	-0,151	0,036	0,010	-0,002	
350	352,7	2,1	1075,334	1026,252	-111,466	37,938	0,382	1034,639	-37,938	0,991	-0,127	0,037	0,985	-0,127	0,036	0,014	-0,004	
375	356,3	1,7	957,501	955,085	-61,763	28,405	0,353	957,080	-28,405	0,997	-0,065	0,030	0,995	-0,064	0,030	0,004	-0,006	
400	354,5	2,2	748,634	734,692	-70,743	28,155	0,272	718,690	-28,155	0,995	-0,096	0,038	0,989	-0,095	0,038	0,016	-0,005	
425	352,6	2,0	659,277	653,388	-84,860	-23,008	0,243	658,875	-23,008	0,991	-0,139	0,038	0,982	-0,139	0,035	0,017	-0,004	
450	351,0	2,0	600,158	592,408	-93,828	20,945	0,221	599,792	-20,945	0,987	-0,156	0,035	0,974	-0,154	0,034	0,024	-0,005	
475	353,1	2,7	550,696	546,101	-46,085	25,941	0,203	550,085	-25,941	0,992	-0,120	0,047	0,983	-0,119	0,047	0,014	-0,004	
500	348,4	2,1	510,581	499,817	-102,598	18,710	0,188	510,238	-18,710	0,979	-0,201	0,037	0,958	-0,197	0,036	0,016	-0,003	
525	351,4	1,7	492,824	487,068	-73,662	14,620	0,182	492,607	-14,620	0,988	-0,149	0,030	0,977	-0,148	0,029	0,022	-0,004	
550	350,1	2,3	451,288	444,210	-77,527	18,111	0,166	450,924	-78,111	0,934	-0,172	0,040	0,969	-0,171	0,040	0,010	-0,007	
575	350,6	2,1	391,517	386,000	-63,902	14,347	0,144	391,254	-14,347	0,936	-0,163	0,037	0,972	-0,162	0,036	0,014	-0,003	
600	357,1	2,5	357,336	356,439	-18,061	15,387	0,132	356,996	-15,387	0,998	-0,051	0,044	0,996	-0,051	0,044	0,016	-0,004	
625	352,8	1,8	350,123	347,191	-43,860	10,998	0,129	349,950	-10,998	0,992	-0,125	0,031	0,983	-0,124	0,031	0,016	-0,002	
650	347,9	2,3	332,789	325,133	-69,703	13,365	0,123	332,521	-13,355	0,977	-0,209	0,040	0,955	-0,208	0,040	0,018	-0,002	
675	335,8	2,0	329,195	300,082	-114,662	11,489	0,121	328,994	-11,489	0,912	-0,410	0,035	0,931	-0,409	0,032	0,018	-0,002	
700	330,0	2,8	360,888	260,266	-151,264	14,698	0,111	300,529	-14,698	0,863	-0,499	0,049	0,994	-0,497	0,033	0,018	-0,001	
725	356,0	1,9	297,223	296,336	-20,722	9,854	0,110	297,060	-9,854	0,997	-0,070	0,035	0,971	-0,069	0,033	0,017	-0,001	
750	332,9	2,1	285,332	253,836	-129,894	10,456	0,105	285,140	-10,456	0,890	-0,455	0,037	0,971	-0,454	0,029	0,005	-0,001	
775	350,4	1,7	276,300	272,311	-46,058	8,197	0,102	276,178	-8,197	0,916	-0,167	0,030	0,971	-0,166	0,029	0,011	-0,001	

Deklinasi =

351

2

Intensitas =

6,5

MAD =

--

	-Jedan 0 * (T)	Dekl. Inkl.	Intensitas m. Vm	Sumbu X	Sumbu Z	Intensitas Relatif	Komponen H	Sumbu -Z	X(CORR.)	Y(CORR.)	Z(CORR.)	XN	XZ	YN	YZ	ZZ
0	356,1	-3,8	-2.410,607	2.419,547	-161,086	1,000	2.423,263	161,086	-0,008	0,991	-0,068	-0,066	0,603	0,004	0,004	0,004
25	357,1	-2,3	2.250,087	2.251,767	-196,191	-90,541	0,928	2.254,269	90,541	0,094	-0,017	-0,040	0,002	0,002	0,002	0,002
50	359,5	-1,7	2.141,982	2.140,958	-18,684	-63,545	0,881	2.141,039	63,545	1,000	-0,009	-0,030	0,000	0,000	0,001	0,001
75	358,5	-1,0	2.008,826	2.008,831	-52,693	-35,076	0,827	2.009,520	35,076	1,000	-0,026	-0,017	0,000	0,000	0,000	0,000
100	357,5	-0,9	1.929,625	1.927,551	-84,159	-10,309	0,794	1.929,387	30,309	0,999	-0,044	-0,016	0,938	-0,044	0,001	0,000
125	358,4	-0,7	1.797,831	1.796,306	-50,195	-21,964	0,740	1.797,697	21,964	1,000	-0,028	-0,012	0,000	0,000	0,000	0,000
150	357,1	-0,6	1.697,739	1.695,472	-85,289	-17,738	0,698	1.697,646	17,738	0,999	-0,051	-0,010	0,000	0,001	0,000	0,000
175	355,5	-0,6	1.542,132	1.537,294	-120,988	-16,149	0,634	1.542,047	16,149	0,997	-0,078	-0,010	0,994	-0,078	0,001	0,000
200	358,3	-0,2	1.447,858	1.447,212	-42,952	-5,054	0,596	1.447,849	5,054	1,000	-0,030	-0,005	0,999	-0,030	0,001	0,000
225	359,2	-0,1	1.376,054	1.375,918	-19,213	-2,402	0,566	1.376,052	2,402	1,000	-0,014	-0,002	0,000	0,000	0,000	0,000
250	354,0	0,4	1.356,763	1.349,298	-141,817	9,472	0,558	1.356,730	-9,472	0,994	-0,105	0,007	0,989	-0,104	0,007	0,000
275	355,0	0,2	1.182,845	1.178,337	-103,091	4,129	0,487	1.182,838	-4,129	0,996	-0,087	0,003	0,992	-0,087	0,003	0,000
300	357,1	0,2	1.089,084	1.087,083	-55,120	3,802	0,448	1.089,077	-3,802	0,999	-0,051	0,003	0,997	-0,051	0,003	0,000
325	356,4	0,3	982,108	980,157	-61,666	5,142	0,404	982,095	-5,142	0,998	-0,063	0,005	0,996	-0,063	0,011	0,000
350	358,8	0,1	855,935	855,746	-17,925	1,494	0,352	855,934	-1,494	1,000	-0,021	0,002	1,000	-0,021	0,002	0,000
375	358,2	0,6	777,119	776,693	-24,499	8,138	0,320	777,076	-8,138	0,999	-0,031	0,010	0,999	-0,031	0,010	0,000
400	359,5	0,5	713,922	713,868	-6,230	6,230	0,294	713,895	-6,230	1,000	-0,009	0,009	1,000	-0,009	0,000	0,000
425	354,4	0,9	668,579	665,306	-65,234	10,502	0,275	668,497	-10,502	0,995	-0,098	0,016	0,990	-0,097	0,016	0,000
450	359,0	0,7	582,511	582,379	-10,165	7,117	0,240	582,468	-7,117	1,000	-0,017	0,012	1,000	-0,017	0,012	0,000
475	356,6	1,0	548,439	547,390	-32,521	9,572	0,226	548,355	-9,572	0,991	-0,059	0,017	0,996	-0,059	0,017	0,000
500	355,5	0,7	523,758	522,104	-41,071	6,399	0,215	523,719	-6,399	0,997	-0,078	0,012	0,994	-0,078	0,012	0,000
525	354,6	0,8	520,626	518,264	-18,930	7,249	0,214	520,575	-7,249	0,995	-0,094	0,014	0,991	-0,094	0,014	0,000
550	358,6	0,8	495,770	495,574	-12,112	6,922	0,204	495,722	-6,922	0,991	-0,059	0,014	0,996	-0,057	0,014	0,000
575	356,7	0,8	477,604	476,766	-27,490	6,668	0,196	477,557	-6,668	0,998	-0,058	0,014	0,996	-0,057	0,014	0,000
600	357,3	0,6	439,744	439,232	-20,714	4,605	0,181	439,720	-4,605	0,999	-0,047	0,010	0,998	-0,047	0,010	0,000
625	357,6	0,4	421,457	421,477	-17,648	2,942	0,173	421,447	-2,942	0,999	-0,042	0,007	0,998	-0,042	0,007	0,000
650	359,3	0,9	404,268	404,188	-1,948	6,150	0,166	404,218	-6,150	1,000	-0,012	0,016	1,000	-0,012	0,016	0,000
675	358,8	1,0	355,212	355,080	-7,438	6,199	0,146	355,158	-6,199	1,000	-0,021	0,017	0,999	-0,021	0,017	0,000
700	358,8	1	314,514	314,397	-6,586	5,439	0,129	314,466	-5,439	1,000	-0,021	0,017	0,999	-0,021	0,017	0,000
725	353,5	1,3	341,110	338,830	-38,675	7,739	0,140	341,022	-7,739	0,993	-0,113	0,023	0,997	-0,112	0,023	0,001
750	358,1	0,9	296,886	296,686	-9,842	4,663	0,122	296,849	-4,663	0,999	-0,033	0,016	0,999	-0,033	0,016	0,000
775	357,6	-0,4	274,680	274,432	-11,812	-1,918	0,113	274,673	1,918	0,999	-0,042	-0,007	0,002	-0,007	0,002	0,000

Beklmasi =

Inklinati =

MAD =

Samuel KGU-C3

Input Data : Deklinasi, Inklinasi, Intensitas

Median 10 ³ CT)	Disk	Inkl	Intensitas relatif	Sumbu X	Sumbu Y	Sumbu Z	Intensitas relatif	Kampanen H	Kampanen -Z	X(CORR.)	Y(CORR.)	Z(CORR.)	XX	XY	XZ	YY	YZ	ZZ
0	360,0	-0,1	2666,741	2666,737	0,000	-4,654	1,000	2666,737	-4,654	1,000	0,000	-0,002	0,000	0,000	0,000	0,000	0,000	
25	2,8	0,7	2532,792	2529,579	123,717	30,943	0,950	2532,603	-30,943	0,999	0,049	0,012	0,997	0,049	0,012	0,002	0,001	0,000
50	4,7	1,4	2402,344	2393,551	196,786	58,694	0,901	2401,627	-58,694	0,996	0,082	0,024	0,993	0,082	0,024	0,007	0,002	0,001
75	3,8	1,5	2360,134	2354,138	156,162	61,781	0,885	2359,323	-61,781	0,997	0,066	0,026	0,995	0,066	0,026	0,004	0,002	0,001
100	2,2	2,0	2032,947	2030,211	77,993	70,949	0,762	2031,709	-70,949	0,999	0,038	0,035	0,997	0,038	0,035	0,001	0,001	0,001
125	2,6	2,1	1961,370	1958,035	38,914	71,877	0,735	1960,053	-71,872	0,998	0,045	0,037	0,997	0,045	0,037	0,002	0,002	0,001
150	3,5	2,2	1831,792	1829,022	111,868	70,395	0,688	1832,440	-70,395	0,997	0,061	0,038	0,995	0,061	0,038	0,004	0,002	0,001
175	3,0	2,0	1726,153	1722,737	90,285	60,242	0,647	1725,101	-60,242	0,998	0,052	0,035	0,996	0,052	0,035	0,003	0,002	0,001
200	0,2	2,3	1616,564	1615,252	5,638	64,876	0,606	1615,262	-64,876	0,999	0,003	0,040	0,998	0,003	0,040	0,000	0,000	0,002
225	1,5	2,5	1504,369	1502,422	39,342	96,620	0,564	1502,937	-63,620	0,999	0,026	0,044	0,997	0,026	0,044	0,001	0,001	0,002
250	2,1	2,3	1416,082	FALSE	51,849	* 56,810	0,531	51,849	-56,810	0,000	0,037	0,040	0,000	0,000	0,000	0,001	0,001	0,002
275	2,7	2,6	1359,926	1357,018	61,995	61,690	0,510	1358,526	-61,690	0,998	0,047	0,045	0,996	0,047	0,045	0,002	0,002	0,001
300	1,6	2,8	1351,087	1348,948	37,680	66,000	0,507	1349,474	-66,000	0,998	0,028	0,049	0,997	0,028	0,049	0,001	0,001	0,002
325	1,1	2,7	1208,075	1206,511	23,166	56,908	0,453	1206,734	-56,908	0,999	0,019	0,047	0,997	0,019	0,047	0,001	0,001	0,002
350	1,0	2,4	1127,337	1126,177	19,657	47,203	0,423	1126,348	-47,208	0,999	0,017	0,042	0,998	0,017	0,042	0,000	0,000	0,002
375	1,9	2,5	1054,357	1052,774	34,924	45,900	0,395	1053,353	-45,900	0,998	0,033	0,044	0,997	0,033	0,044	0,001	0,001	0,002
400	0,1	2,7	944,364	943,314	1,646	44,486	0,354	943,316	-44,486	0,999	0,002	0,047	0,998	0,002	0,047	0,000	0,000	0,002
425	0,2	2,9	914,549	913,372	2,188	46,270	0,343	913,378	-46,270	0,999	0,003	0,051	0,997	0,003	0,051	0,000	0,000	0,003
450	1,9	2,5	764,179	763,032	25,312	33,313	0,287	763,452	-33,313	0,998	0,033	0,044	0,997	0,033	0,044	0,001	0,001	0,002
475	0,4	2,4	645,274	644,693	4,501	27,021	0,242	644,709	-27,021	0,999	0,007	0,042	0,998	0,007	0,042	0,000	0,000	0,002
500	1,6	3,1	576,157	575,090	16,064	31,158	0,216	575,314	-31,158	0,998	0,028	0,054	0,996	0,028	0,054	0,001	0,001	0,003
525	0,5	2,7	540,938	540,317	4,715	25,482	0,203	540,337	-25,482	0,999	0,009	0,047	0,998	0,009	0,047	0,000	0,000	0,002
550	0,1	3,5	523,769	522,791	0,912	31,975	0,196	522,792	-31,975	0,998	0,002	0,061	0,996	0,002	0,061	0,000	0,000	0,004
575	0,3	3,0	511,900	511,191	2,677	26,791	0,192	511,198	-26,791	0,999	0,005	0,052	0,997	0,005	0,052	0,000	0,000	0,003
600	2,6	2,8	492,030	490,937	22,293	24,036	0,185	491,443	-24,036	0,998	0,045	0,049	0,996	0,045	0,049	0,002	0,002	0,002
625	4,1	2,9	490,962	489,078	35,058	24,839	0,184	490,333	-24,839	0,996	0,071	0,051	0,992	0,071	0,051	0,004	0,004	0,003
650	2,4	2,9	462,209	461,209	19,330	23,384	0,173	461,614	-23,384	0,998	0,042	0,051	0,996	0,042	0,051	0,002	0,002	0,003
675	2,4	2,6	449,041	448,126	18,785	20,370	0,168	448,580	-20,370	0,998	0,042	0,045	0,996	0,042	0,045	0,002	0,002	0,002
700	2,4	2,5	426,741	425,961	17,853	18,614	0,160	426,335	-18,614	0,998	0,042	0,044	0,996	0,042	0,044	0,001	0,001	0,003
725	1,2	2,9	415,000	414,378	8,680	20,996	0,156	414,469	-20,996	0,999	0,021	0,051	0,997	0,021	0,051	0,001	0,001	0,006

MAD = 1.4

Lampiran IV:
Parameter Kestabilan
NRM

SAMPEL KGD-A3

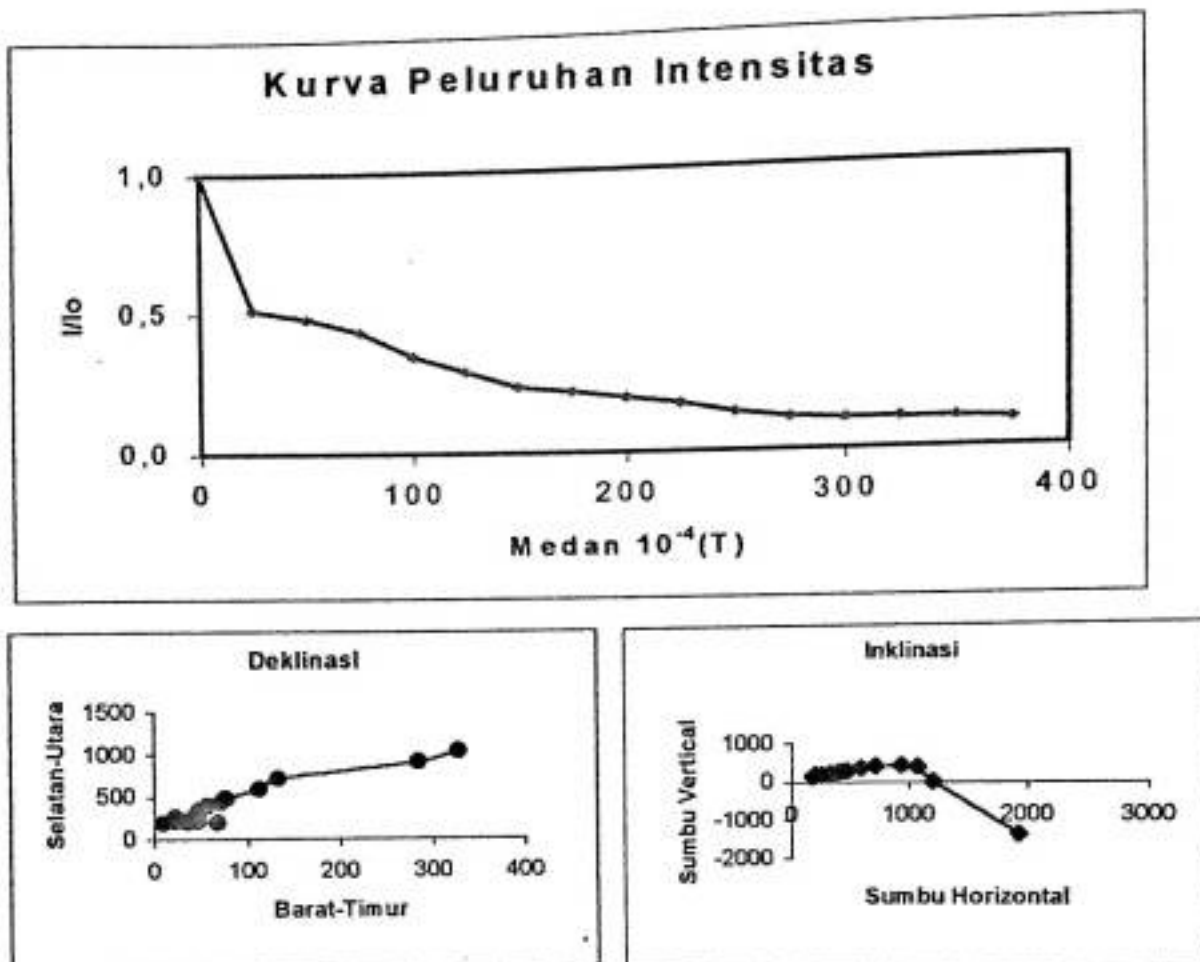
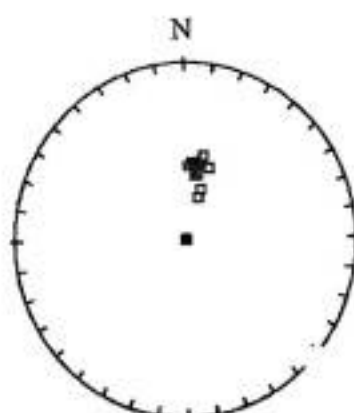


Diagram Zijderveld



Plot Stereonet

Sampel KGD-B3

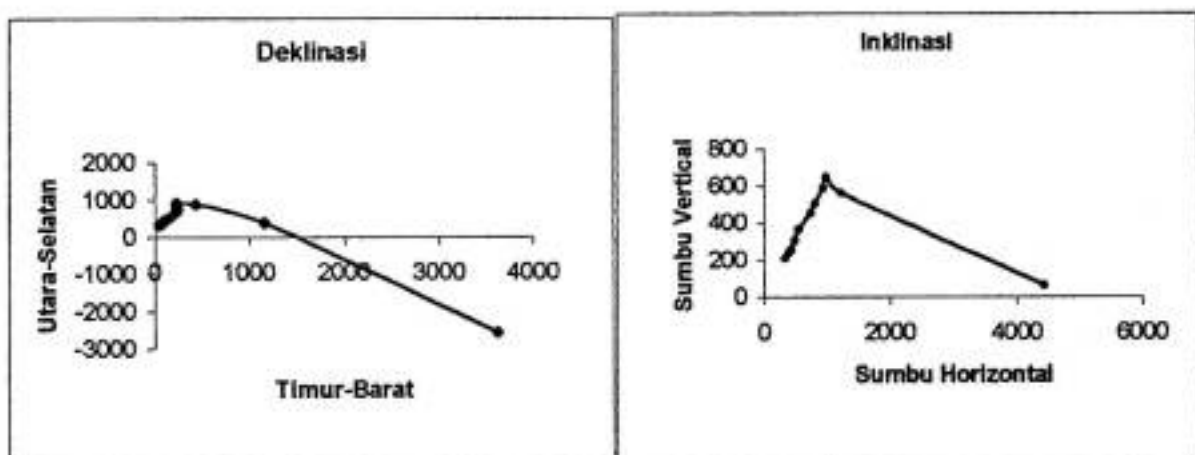
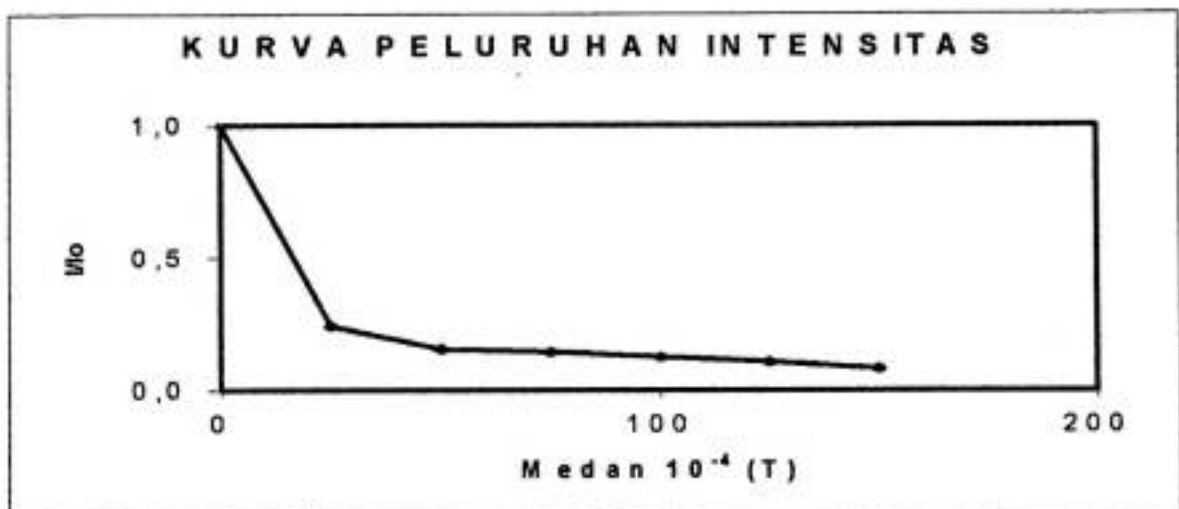
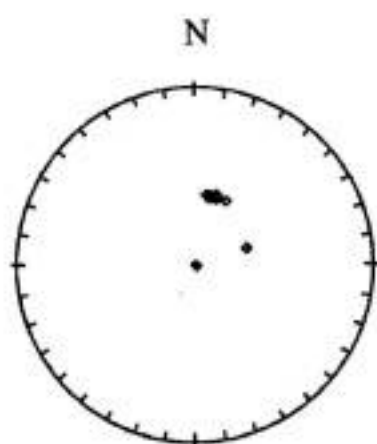


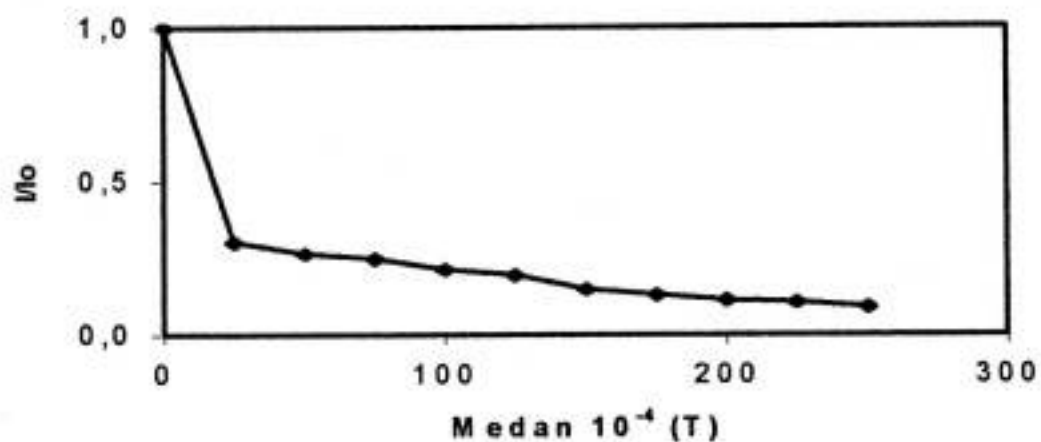
Diagram Zijderveld



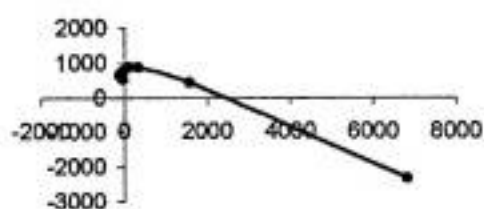
Plot Stereonet

SAMPEL KGD-C3

KURVA PELURUHAN INTENSITAS



Deklinasi



Inklinasi

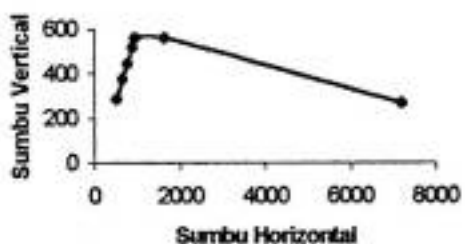
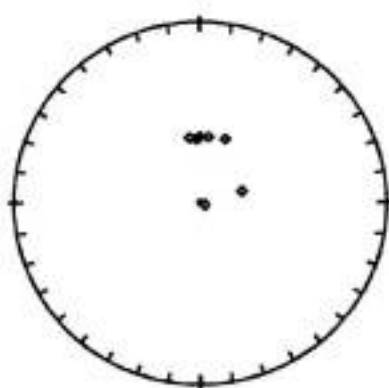


Diagram Zijderveld



Plot Stereonet

SAMPEL KGD-D3

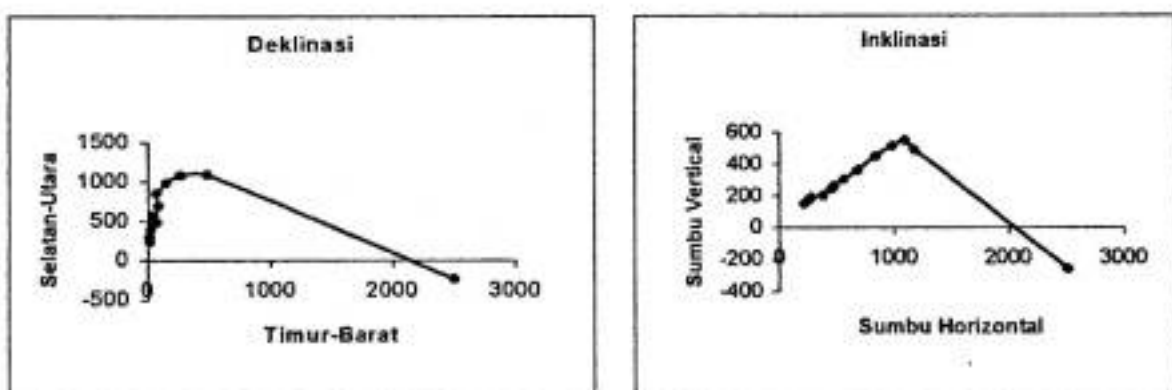
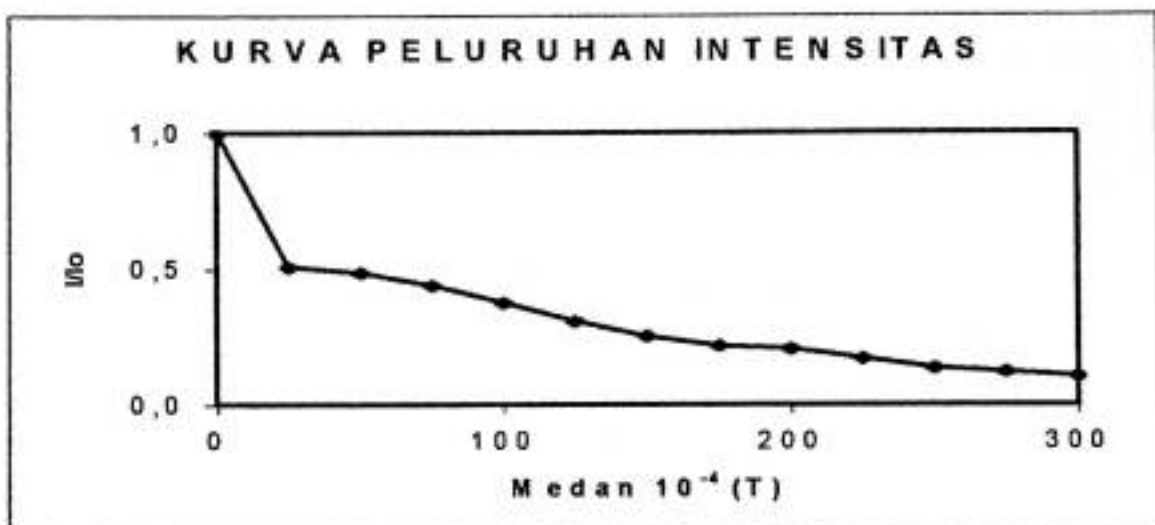
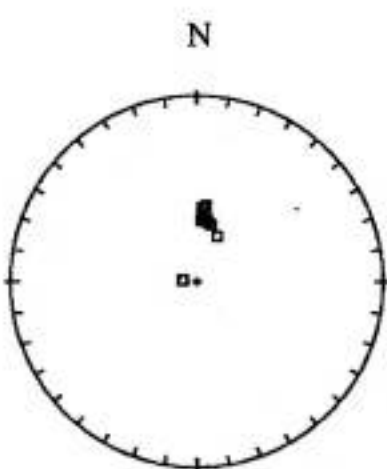
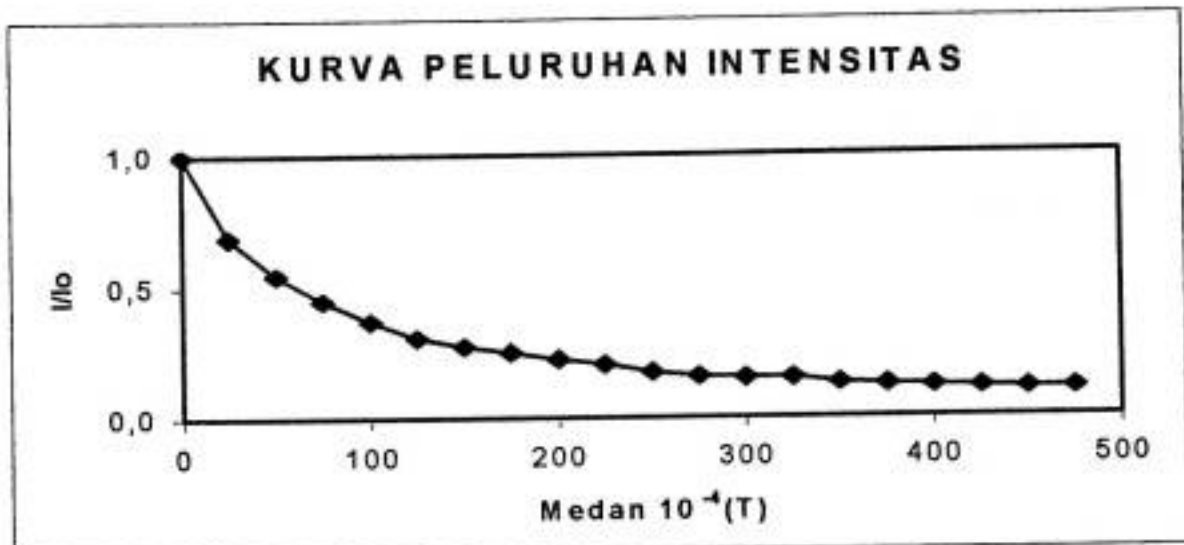


Diagram Zijderveld



Plot Stereonet

SAMPEL PB-B2



Kurva Peluruhan Intensitas

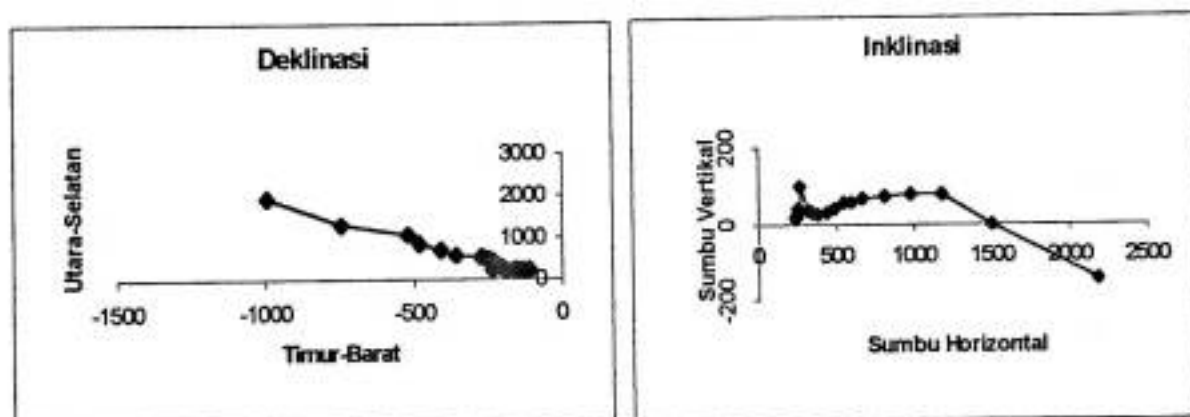
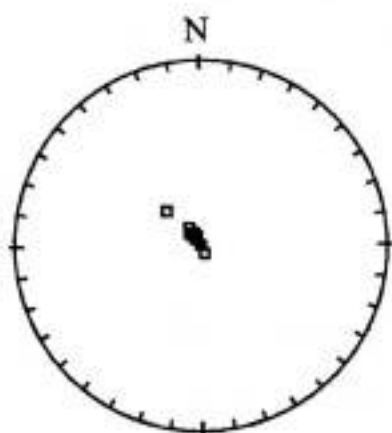


Diagram Zijderveld



Plot Stereonet

SAMPEL PB-C2

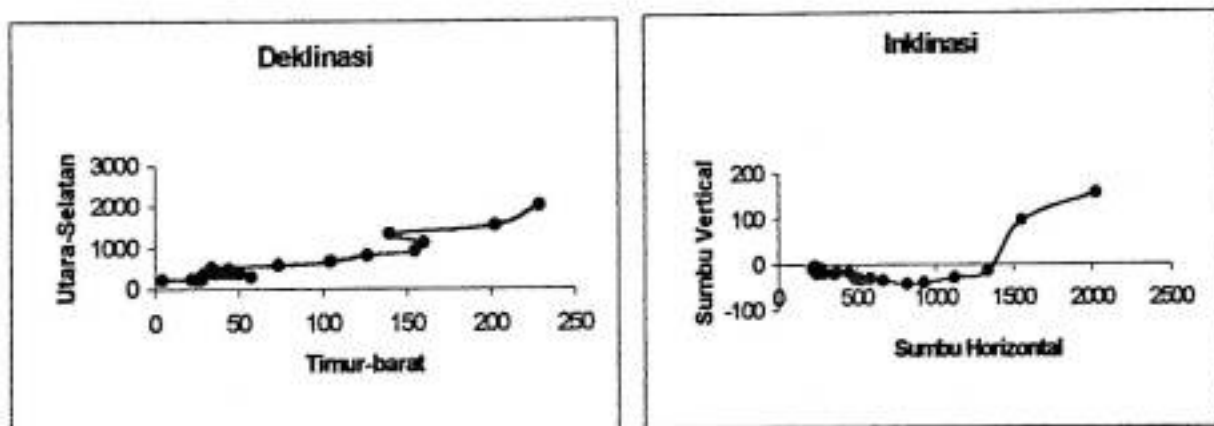
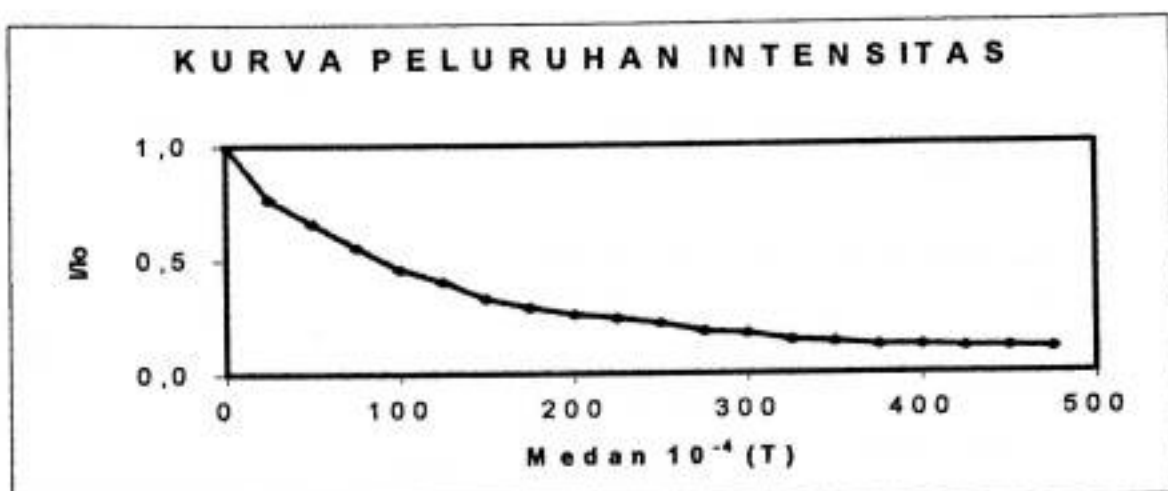
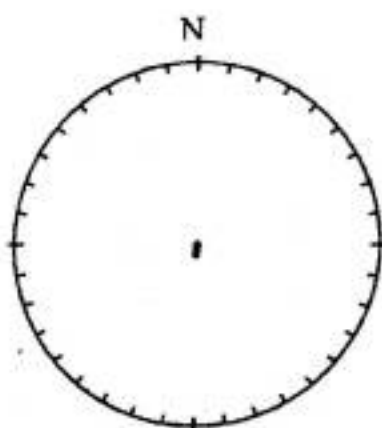


Diagram Zijderveld



Plot Stereonet



Sampel PB-D2

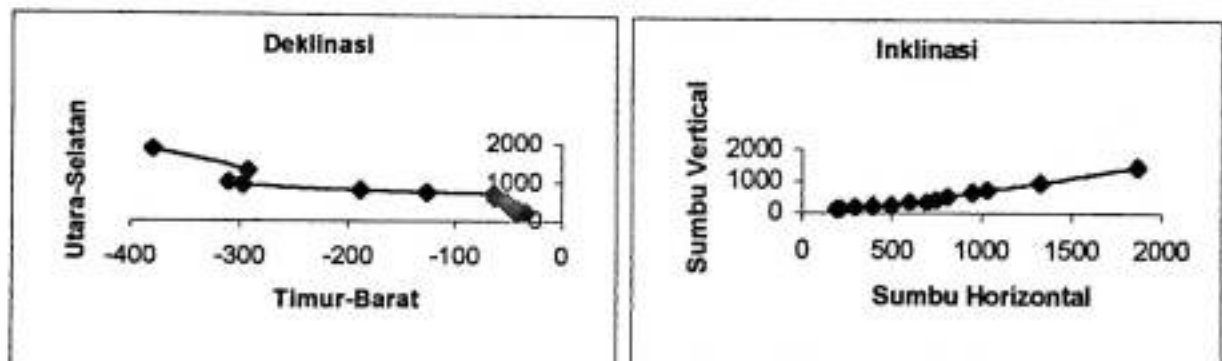
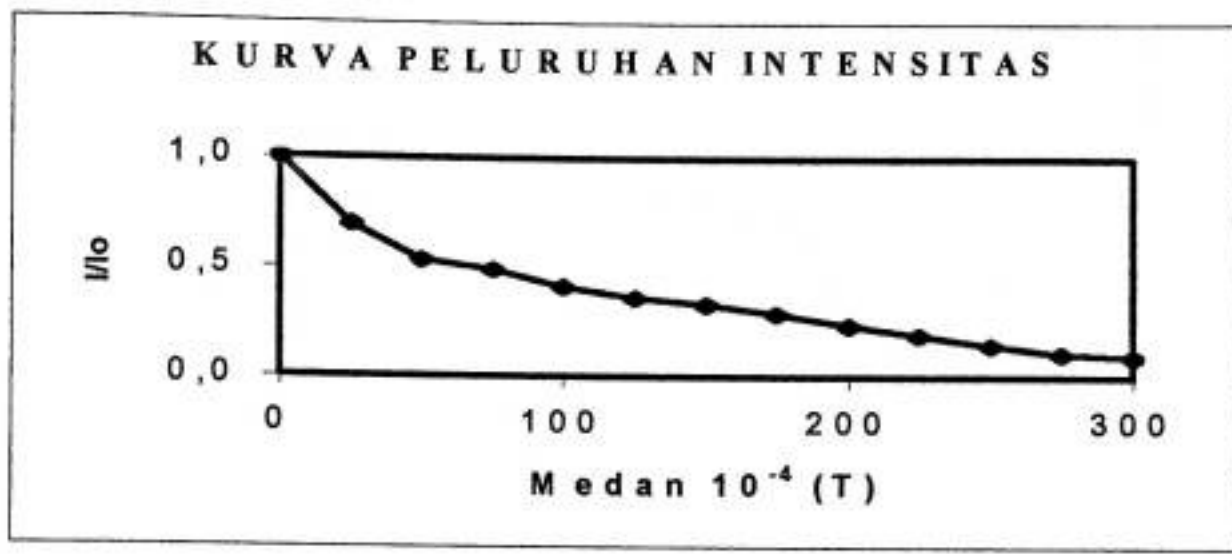
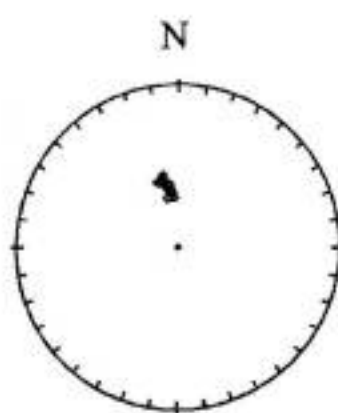


Diagram Zijderveld



Plot Stereonet

SAMPEL PB-E2

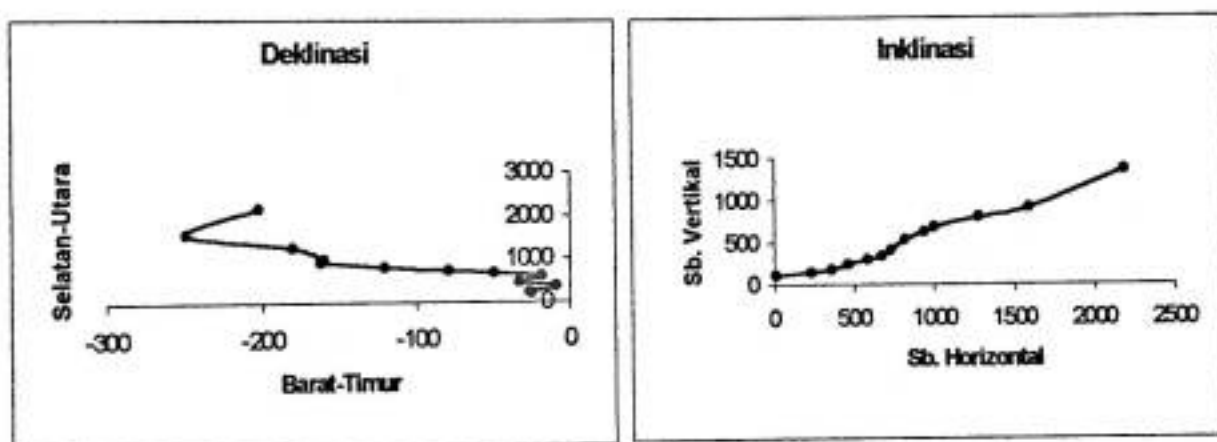
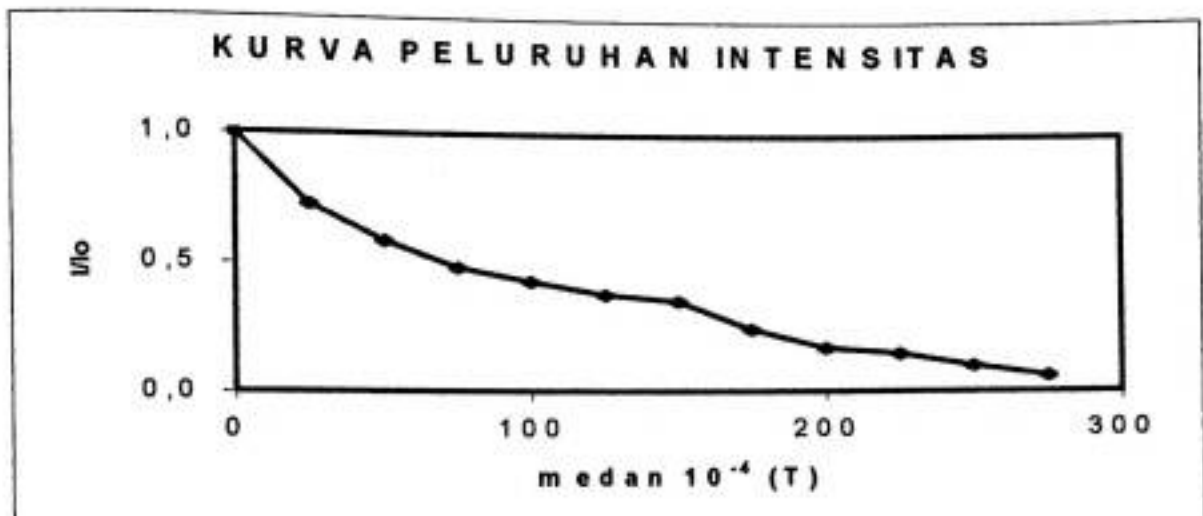
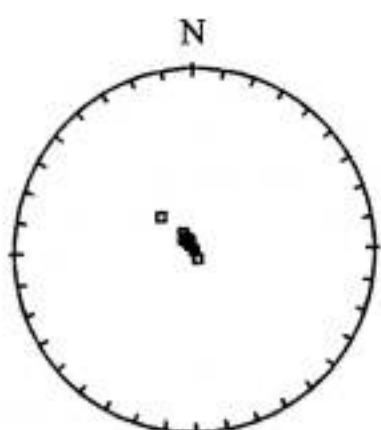


Diagram Zijderveld



Plot Stereonet

SAMPEL PB-F2

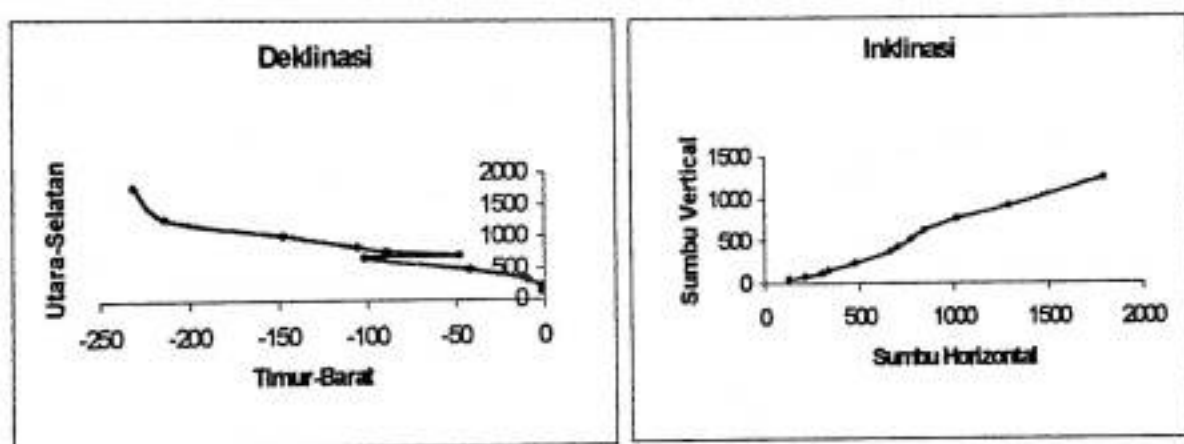
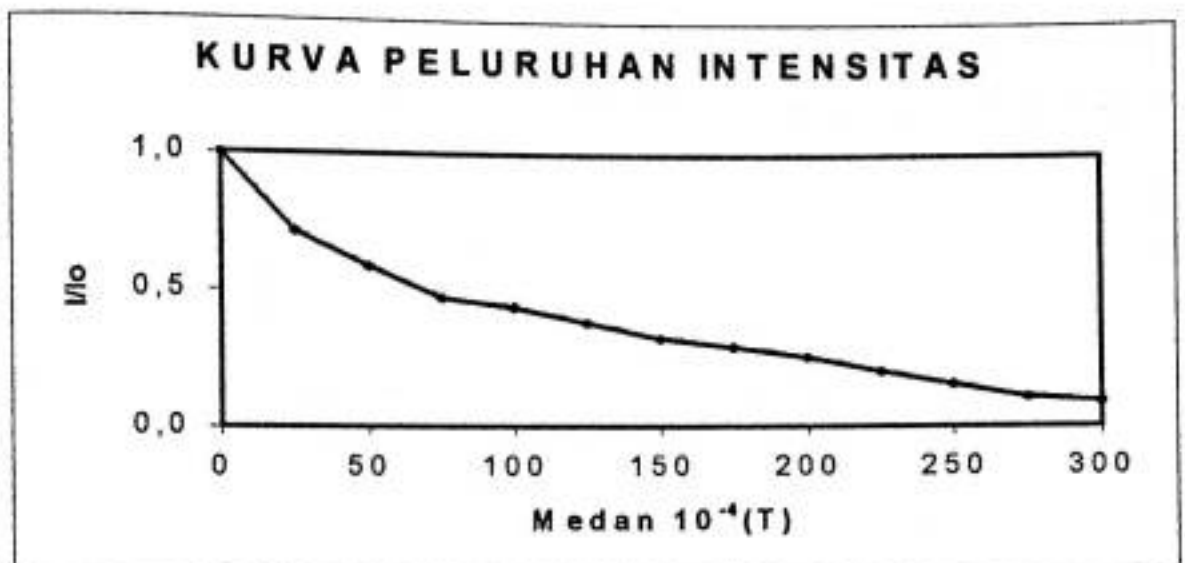
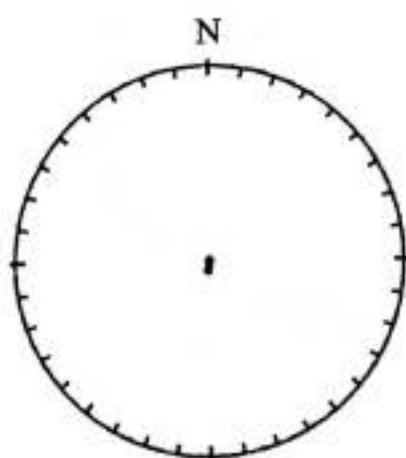


Diagram Zijderveld



Plot Stereonet

SAMPEL PB-G2

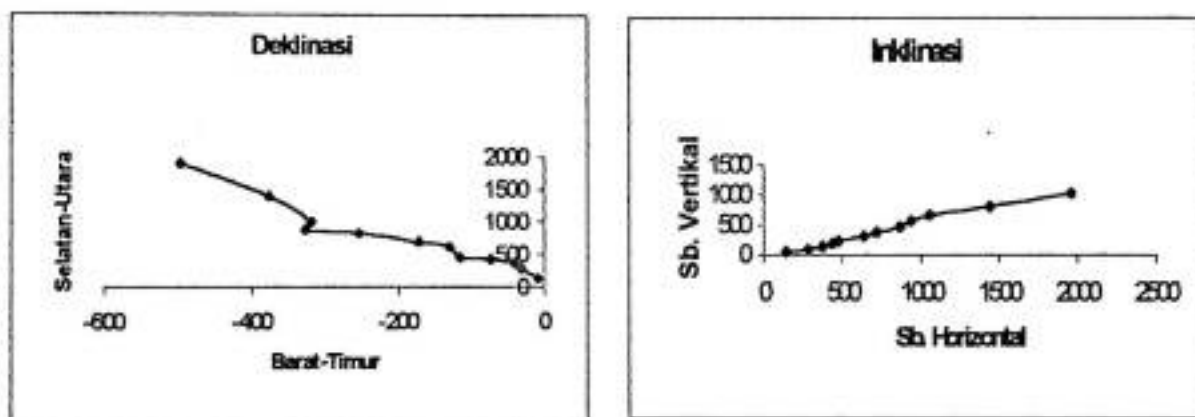
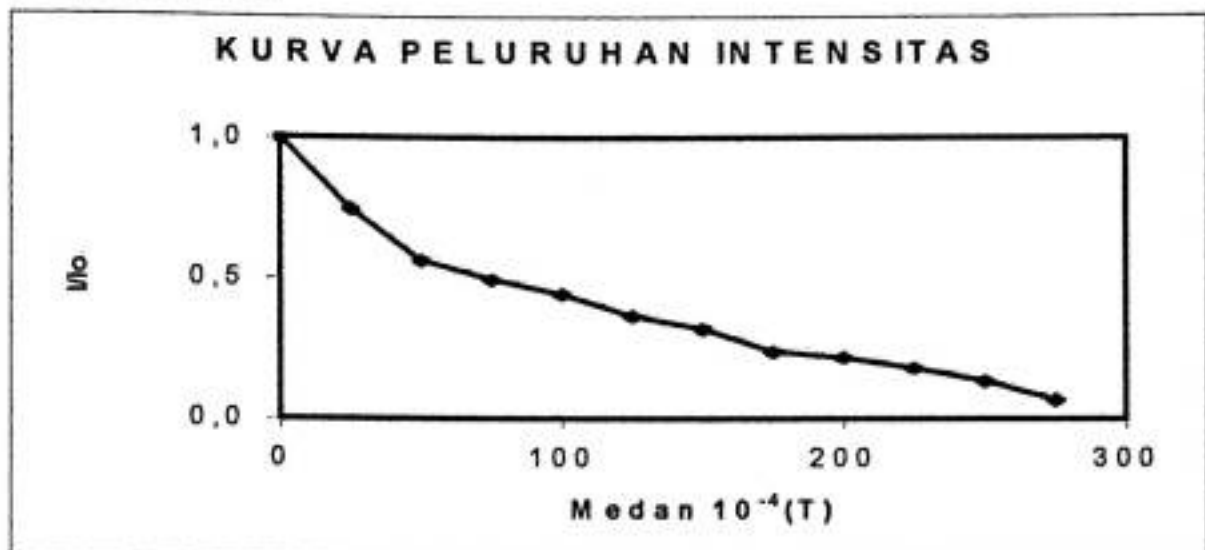
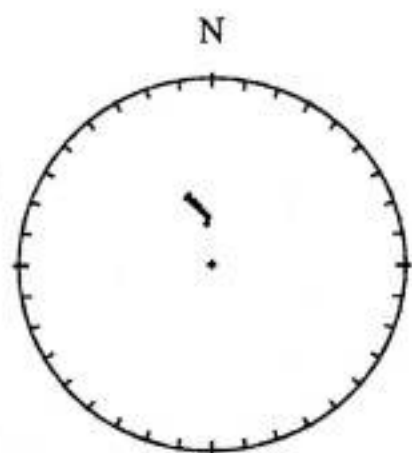


Diagram Zijderveld



Plot stereonet

SAMPEL KGU-A1

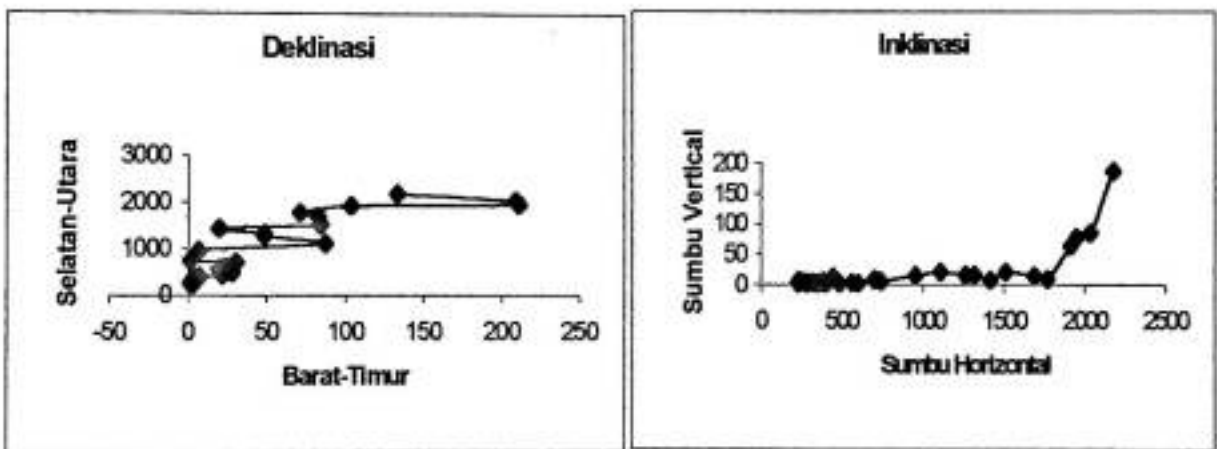
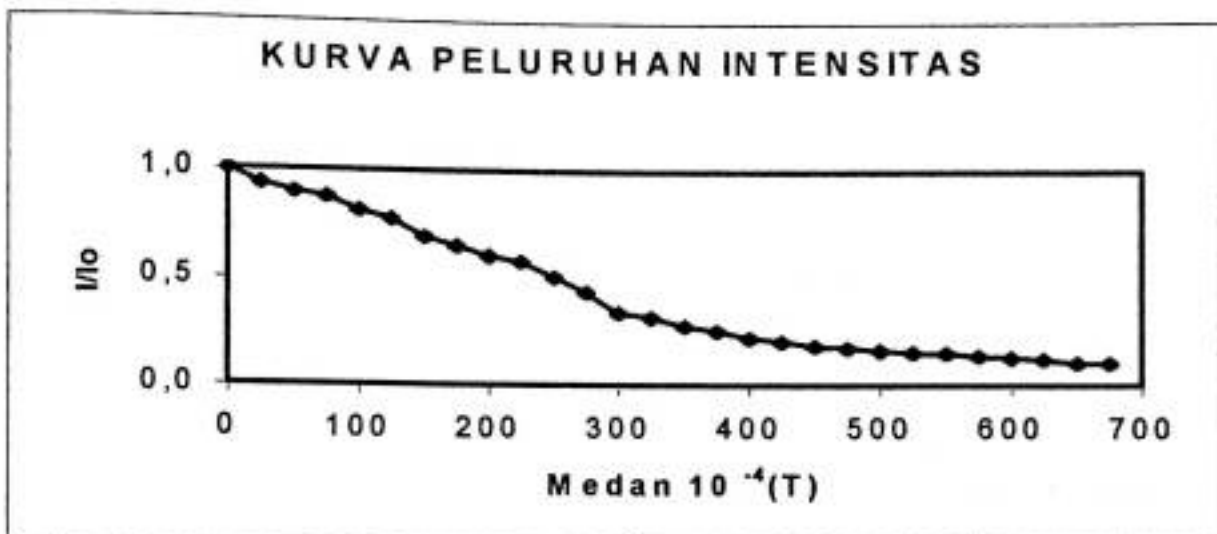
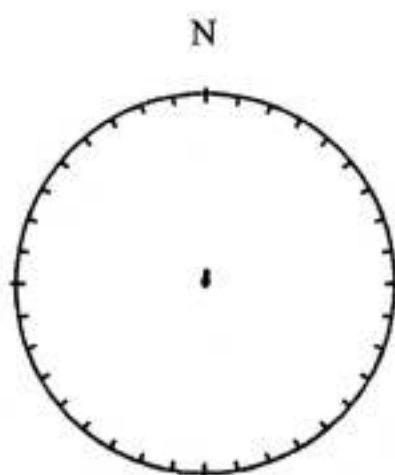


Diagram Zijderveld



Plot Stereonet

Sampel KGU-A2

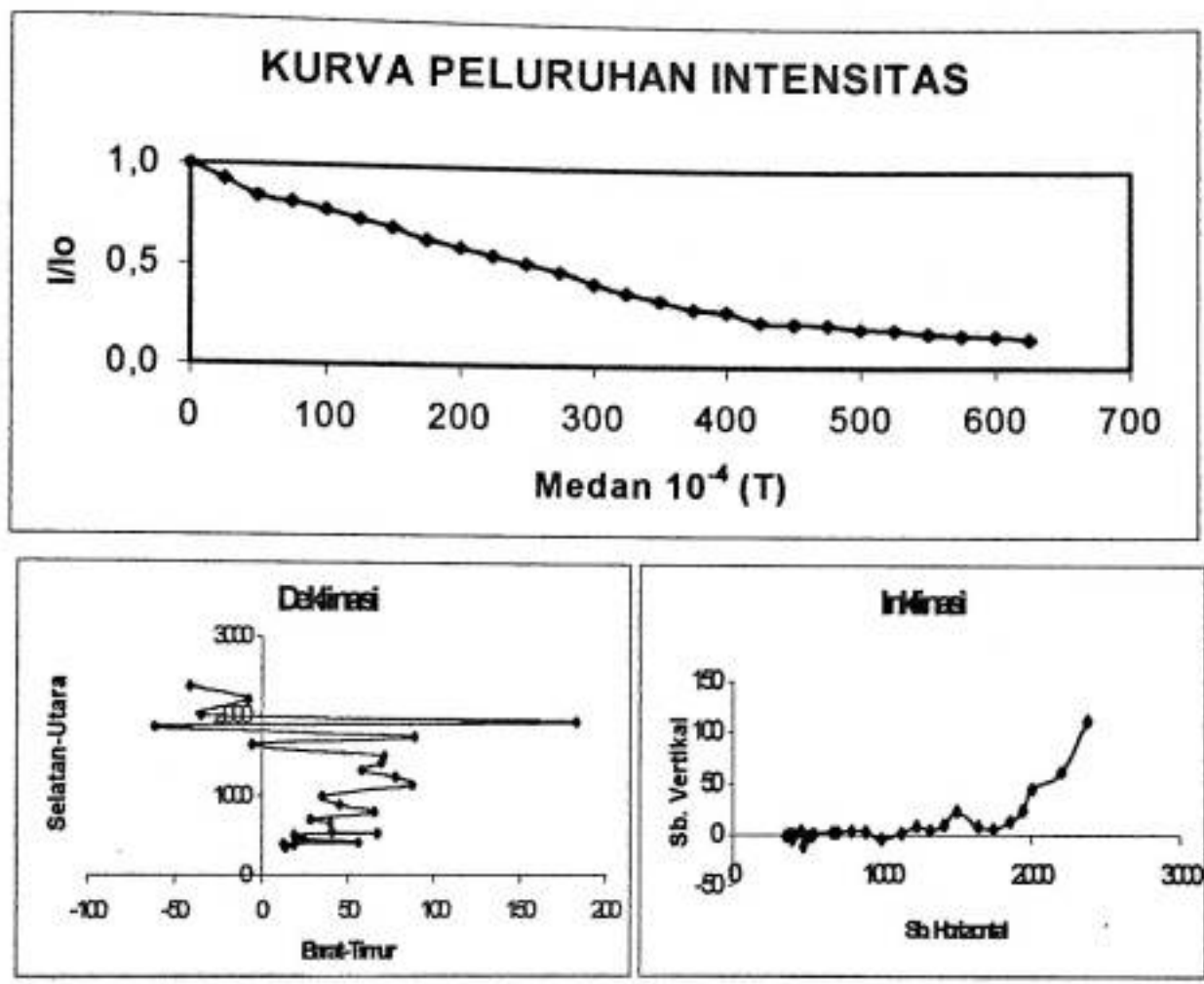
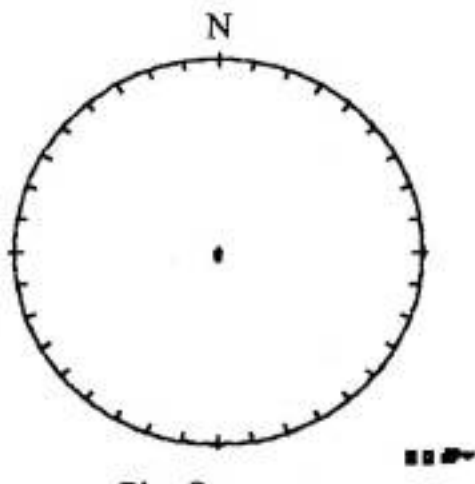


Diagram Zijderveld



Plot Stereonet

SAMPEL KGU-B2

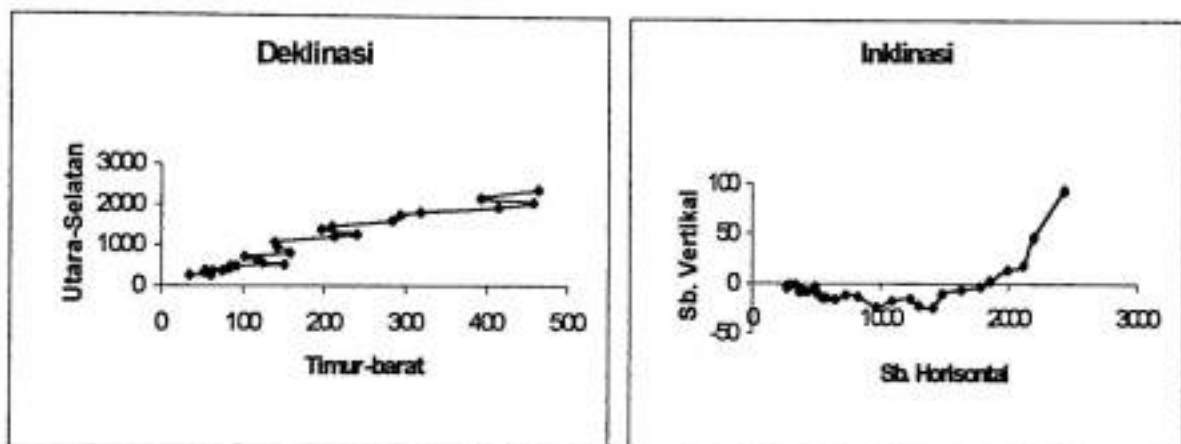
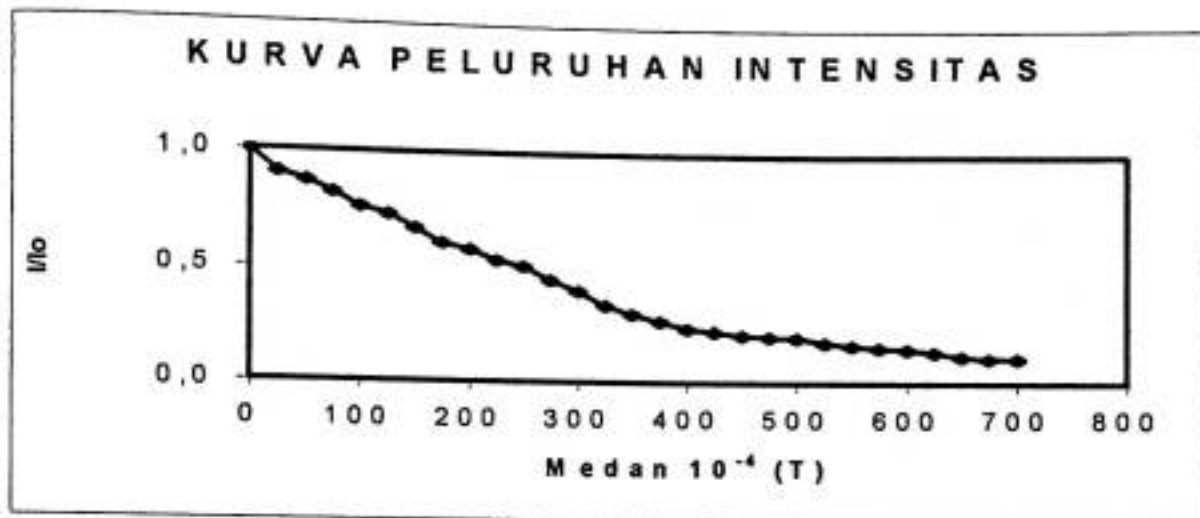
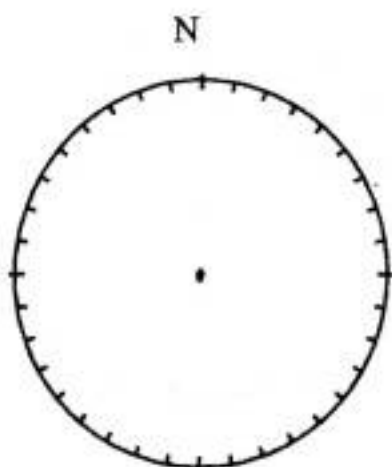


Diagram Zijderveld



Plot Stereonet

SAMPEL KGU-C1

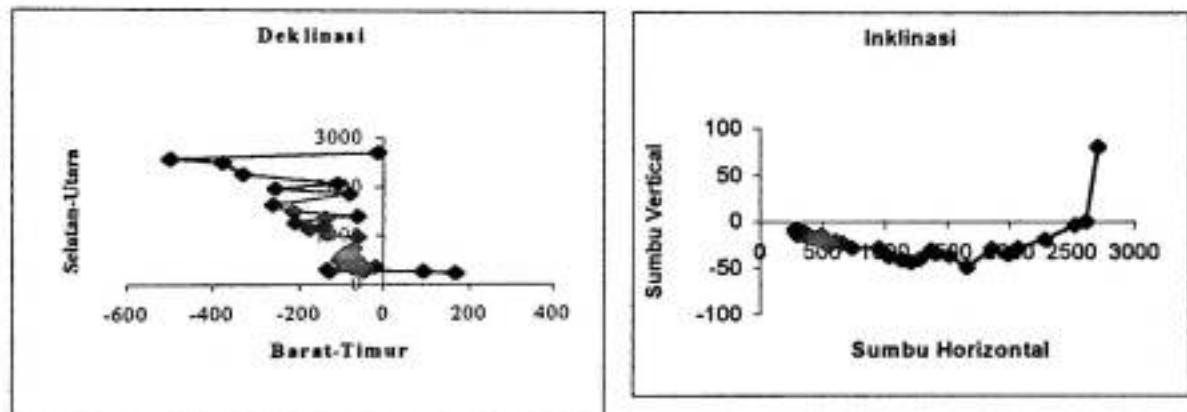
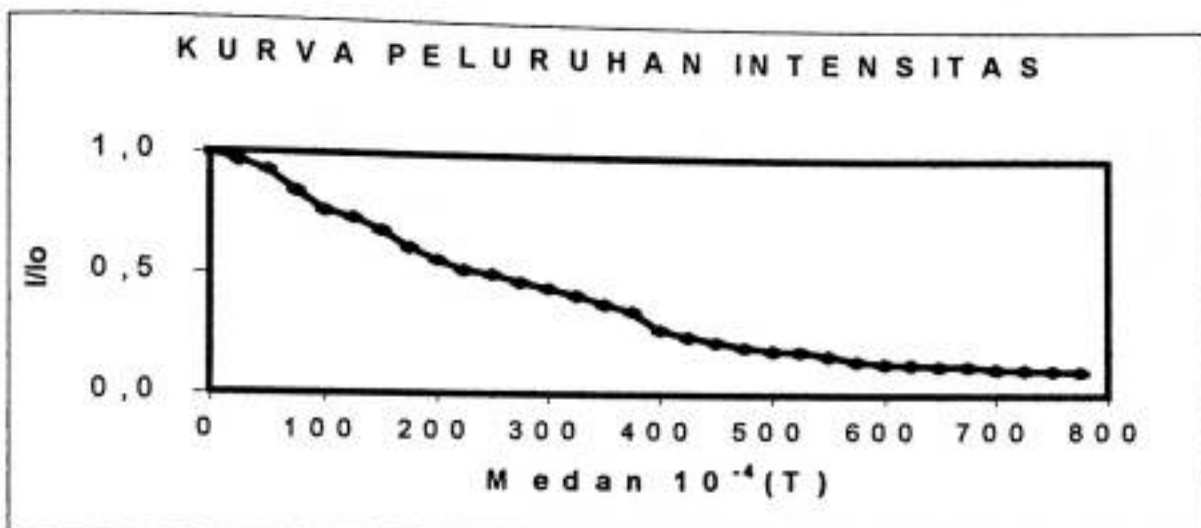
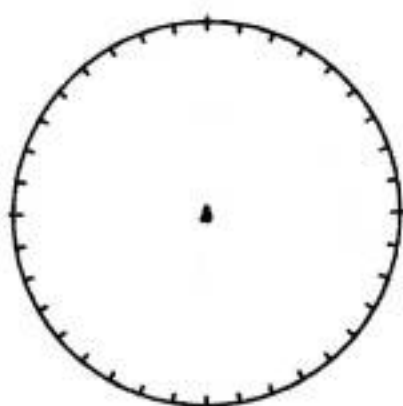


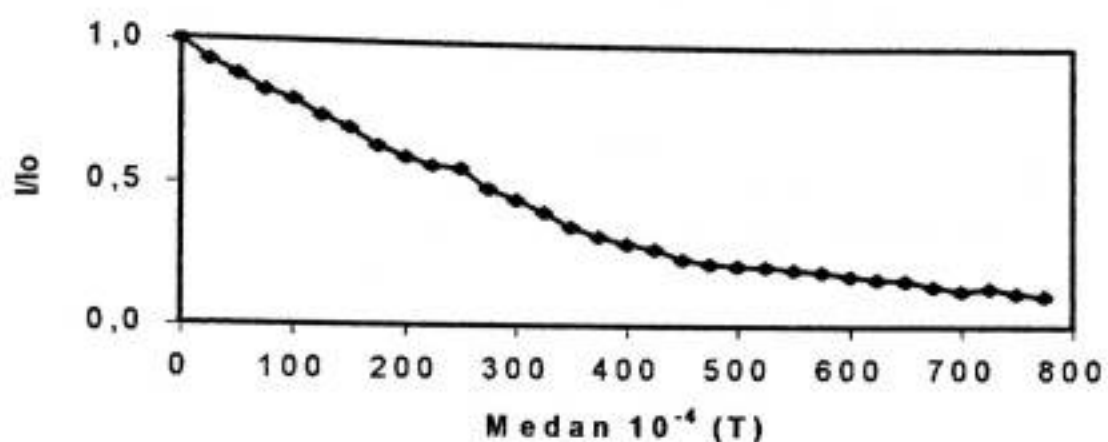
Diagram Zijderveld



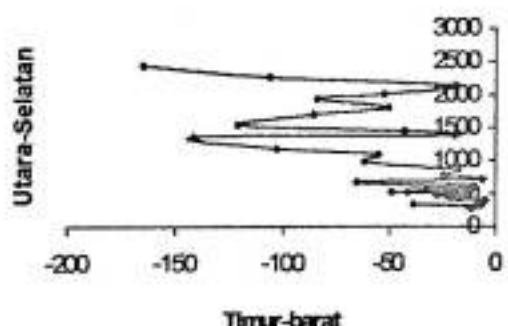
Plot Stereonet

SAMPEL KGU-C2

KURVA PELURUHAN INTENSITAS



Deklinasi



Inclinasi

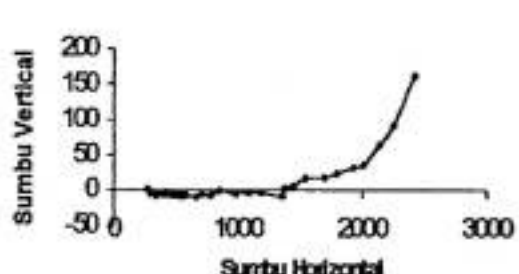
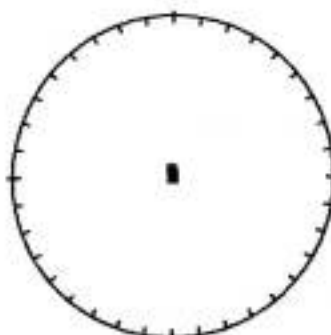


Diagram Zijderveld

N



Plot Stereonet

Sampel KGU-C3

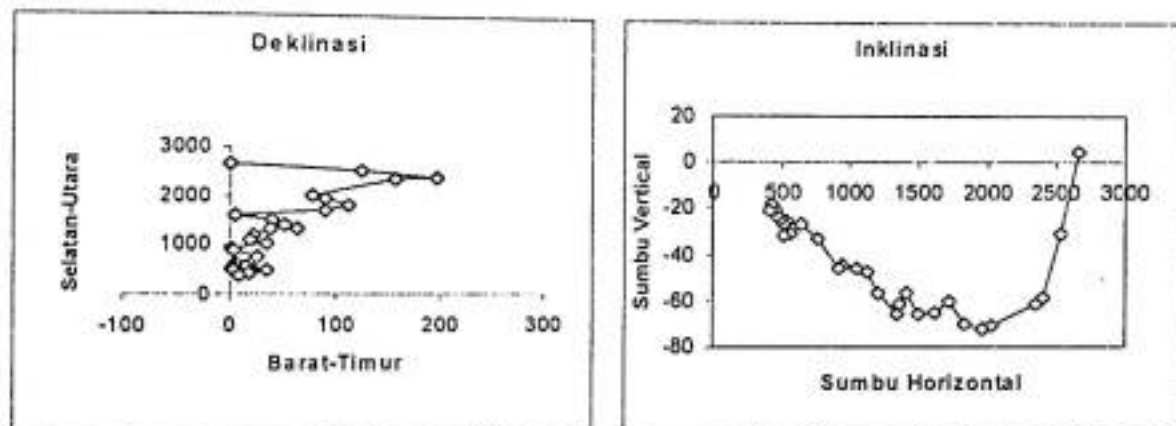
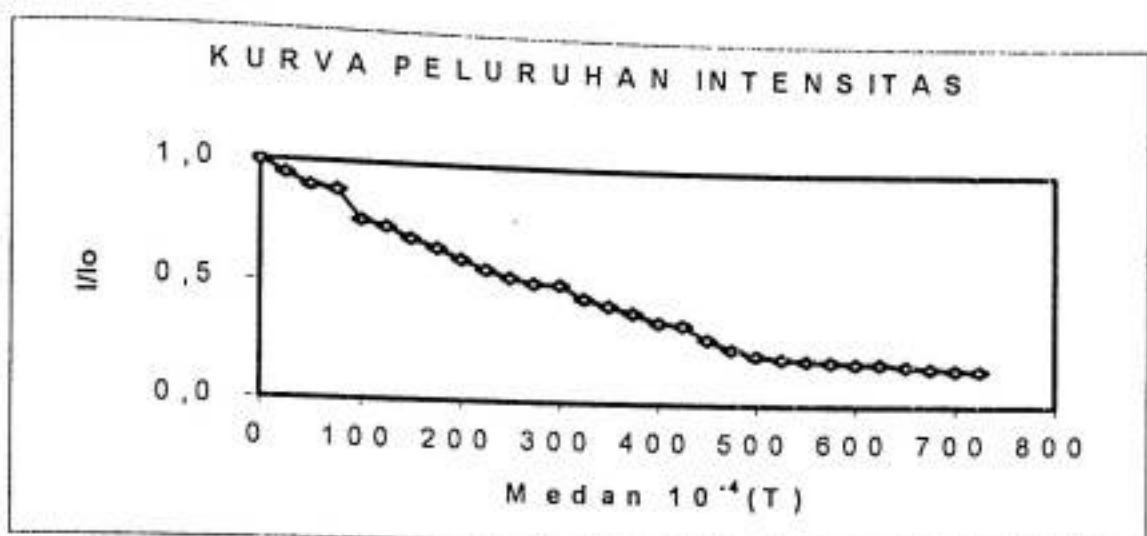
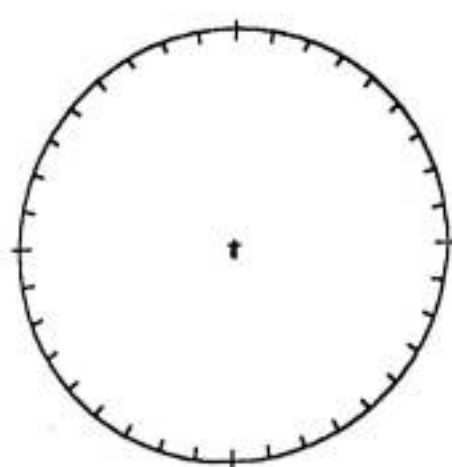


Diagram Zijderveld

N



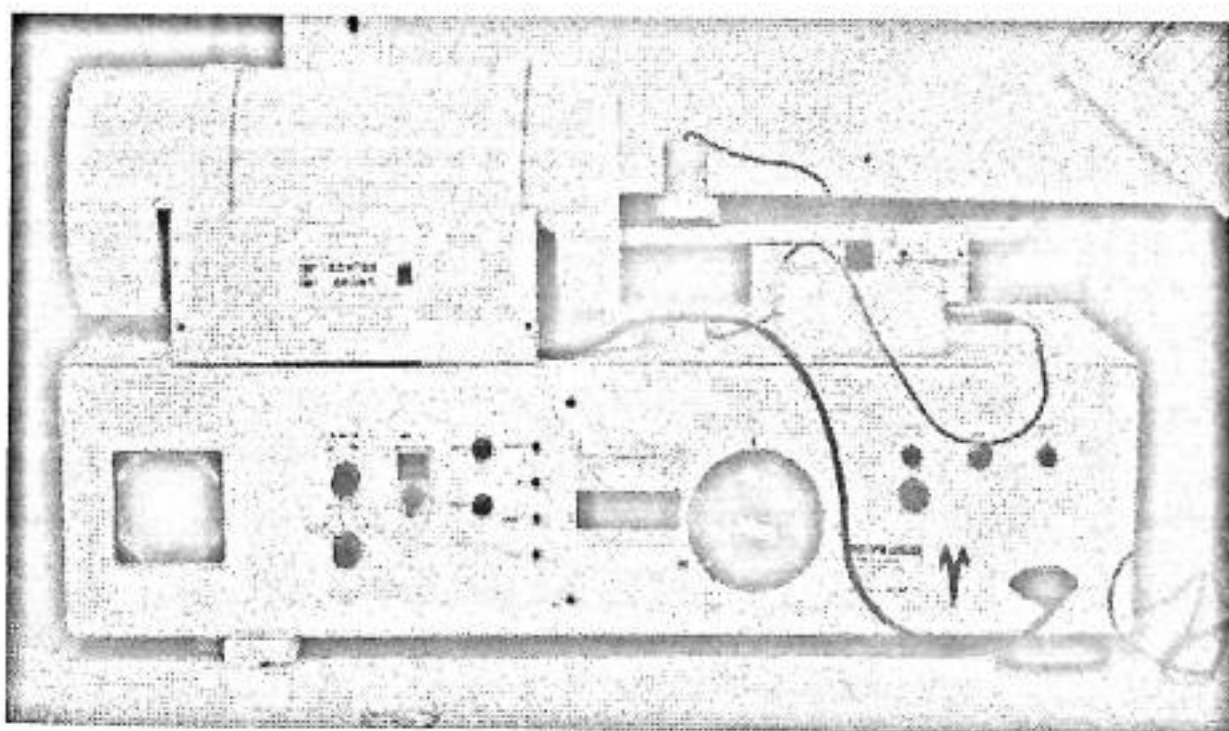
Plot Stereonet

Lampiran V:
Gambar Alat yang
Digunakan

Alat Yang digunakan dalam Penelitian



Minispin Magnetometer



Molspin Alternating Field Demagnetizer